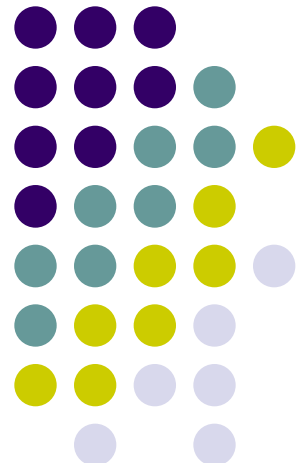


Lekcija 5: *Sinteza MIMO regulatora*

Prof.dr.sc. Jasmin Velagić
Elektrotehnički fakultet Sarajevo

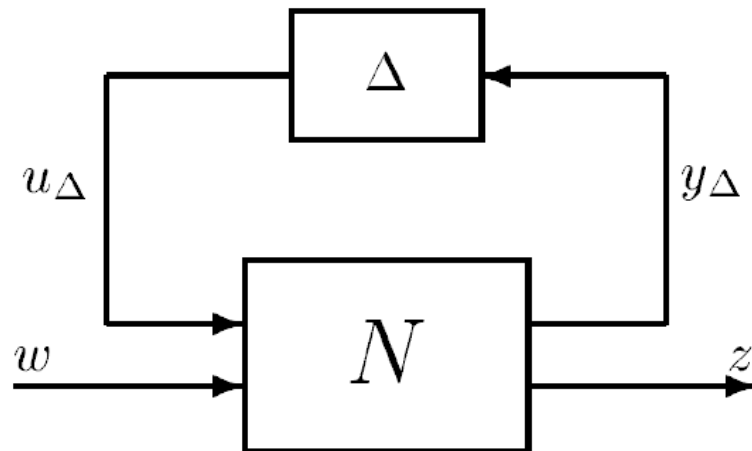
Kolegij: Multivarijabilni sistemi

2012/2013

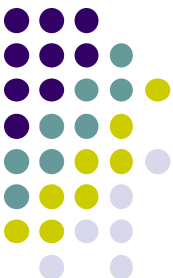


Opća upravljačka konfiguracija

- **Opća upravljačka konfiguracija sa neizvjesnošću i regulatorom**

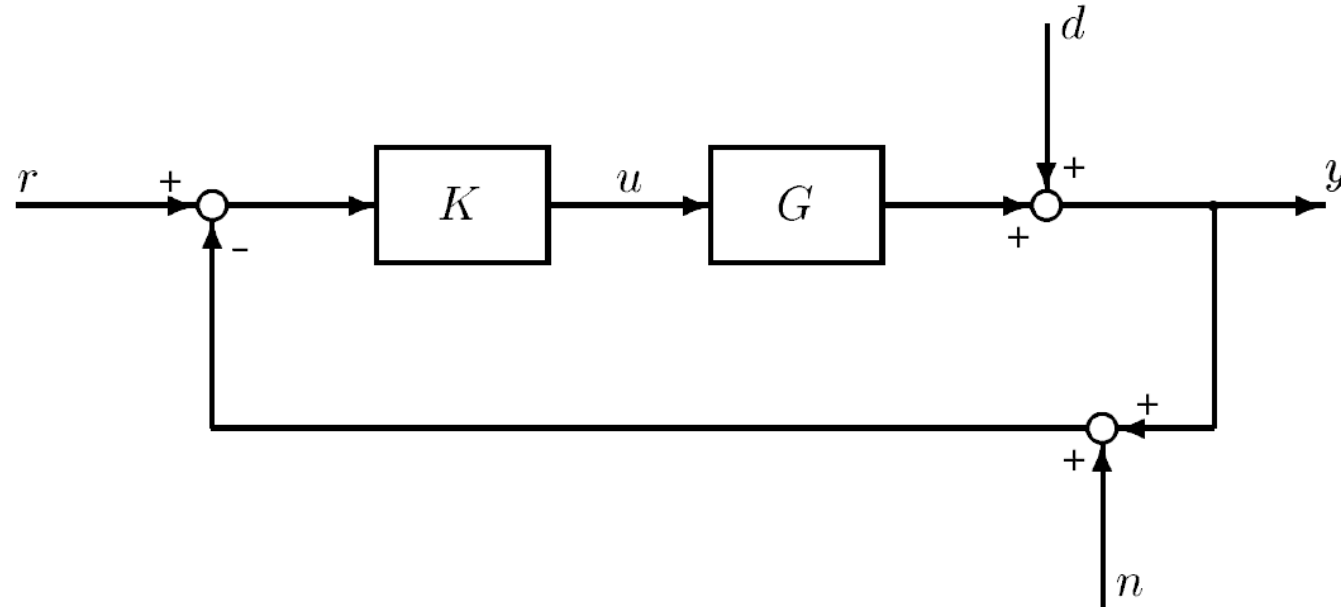


- **Ciljevi:**
- **Definirati $N(s)$ koji će oslikavati svojstva zatvorene petlje.**
- **Odrediti $K(s)$ da se postigne željeni $N(s)$.**



Opća upravljačka konfiguracija

Sistem upravljanja sa 1-DOF



- Izlaz y , upravljački ulaz u i pogreška e dani su sa:

$$y(s) = T(s)r(s) + S(s)d(s) - T(s)n(s)$$

$$u(s) = K(s)S(s)[r(s) - n(s) - d(s)]$$

$$e(s) = S(s)r(s) - S(s)d(s) + T(s)n(s)$$



Opća upravljačka konfiguracija

- Zahtjevi koji se postavljaju na K , u smislu stabilizacije G -a, su:
 - Eliminiranje smetnje \Rightarrow učiniti $\bar{\sigma}(S)$ malim.
 - Prigušenje šuma \Rightarrow načiniti T malim.
 - Slijedeњe referentne veličine $\Rightarrow \bar{\sigma}(T) \approx \underline{\sigma}(T) \approx 1$
 - Redukcija stanja ulaza (energije) \Rightarrow načiniti $\bar{\sigma}(KS)$ malim.
 - Robusna stabilnost u prisustvu aditivne perturbacije \Rightarrow načiniti $\bar{\sigma}(KS)$ malim.
 - Robusna stabilnost u prisustvu izlazne multiplikativne neizvjesnosti \Rightarrow načiniti $\bar{\sigma}(T)$ malim.
- Ovi zahtjevi se ne mogu zadovoljiti istovremeno, tj. postoje konfliktni ciljevi pri dizajnu regulatora.



Opća upravljačka konfiguracija

- Dizajn regulatora uključuje kompromis između navedenih konfliktnih ciljeva:
 - **Sinteza**: formulacija i rješavanje problema optimizacije.
 - **Oblikovanje petlje** (engl. Loop-shaping): “ručno” oblikovanje otvorene petlje pojačanja.



Opća upravljačka konfiguracija

- Prethodni zahtjevi su se odnosili na zatvorenu petlju, ovdje imamo posla sa oblikovanjem otvorene petlje.
- Klasično oblikovanje petlje – oblikovanje otvorene petlje $L = GK$, zahtijeva se:

$$\underline{\sigma}(L) - 1 \leq \frac{1}{\bar{\sigma}(S)} \leq \underline{\sigma}(L) + 1$$

- Na frekvencijama gdje je $\underline{\sigma}(L) \gg 1$ imamo $\bar{\sigma}(S) \approx 1/\underline{\sigma}(L)$
- Na frekvencijama gdje je $\underline{\sigma}(L) \ll 1$ imamo $\bar{\sigma}(T) \approx \bar{\sigma}(L)$
- Na frekvenciji ω_B ($1/\bar{\sigma}(S(j\omega_B)) = \sqrt{2} \approx 1.41$) imamo:

$$0.41 \leq \underline{\sigma}(L(j\omega_B)) \leq 2.41$$



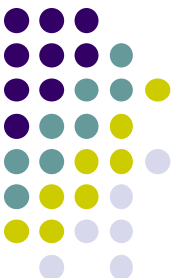
Opća upravljačka konfiguracija

- Preko specificiranog frekvencijskog područja mogu se aproksimirati zahtjevi zatvorene petlje sa zahtjevima koji se odnose na otvorenu petlju:
 - Za **eliminiranje smetnje** učiniti $\underline{\sigma}(GK)$ velikim; ispravno za frekvencije na kojim je $\underline{\sigma}(GK) \gg 1$
 - Za **prigušenje šuma** načiniti $\bar{\sigma}(GK)$ malim; ispravno za frekvencije gdje je $\bar{\sigma}(GK) \ll 1$
 - Za **slijedenje reference** učiniti $\underline{\sigma}(GK)$ velikim; vrijedi za frekvencije na kojima je $\underline{\sigma}(GK) \gg 1$
 - Za **robusnu stabilnost na aditivne perturbacije** učiniti $\bar{\sigma}(K)$ malim; vrijedi za frekvencije na kojima je $\bar{\sigma}(GK) \ll 1$
 - Za **robusnu stabilnost na multiplikativne izlazne perturbacije** učiniti $\bar{\sigma}(GK)$ malim ($\bar{\sigma}(GK) \ll 1$)



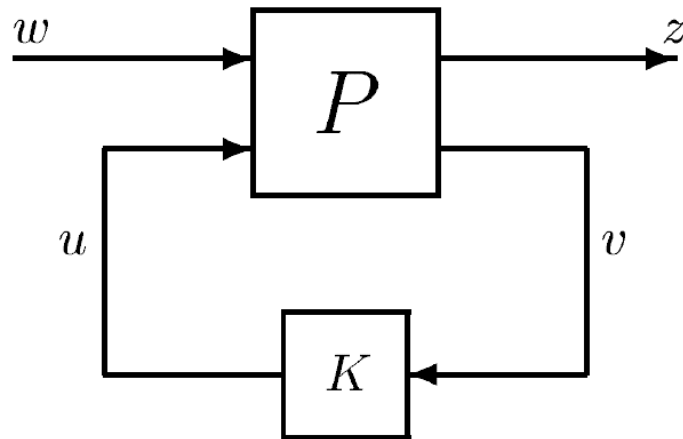
Opća upravljačka konfiguracija

- Zahtjevi 1. i 3. su validni i važni na niskim frekvencijama, tj, $0 \leq \omega \leq \omega_l \leq \omega_B \leq \infty$.
- Zahtjevi 2., 4., 5. i 6. su uvjeti koji su ispravni i važni na visokim frekvencijama, tj. $\omega_B \leq \omega_h \leq \omega \leq \infty$.
- Na frekvencijama na kojima se želi veliki iznos pojačanja (niske frekvencije), “najlošiji slučaj” pravca je povezan sa $\underline{\sigma}(L)$.
- Na frekvencijama gdje se želi postići mali iznos pojačanja (visoke frekvencije) “najlošiji slučaj” pravca je povezan sa $\bar{\sigma}(L)$.



Opća upravljačka konfiguracija

Opći problem upravljanja bez neizvjesnosti



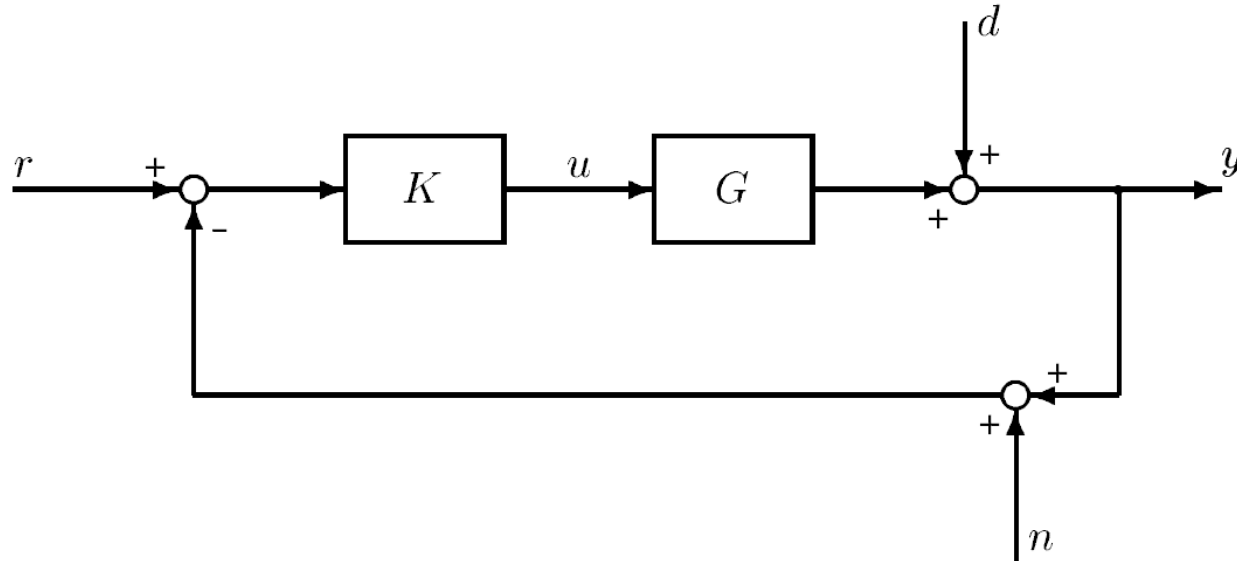
$$z = \mathbf{F}(\mathbf{P}, \mathbf{K})w$$

- Sinteza regulatora: $\min_K \|\mathbf{F}\|_m$
- $m = 2$ imamo H_2 -optimalno upravljanje,
- $m = \infty$ imamo H_∞ -optimalno upravljanje.
- Rješenje zasnovano na modelu $\mathbf{P}(s)$.

Opća upravljačka konfiguracija

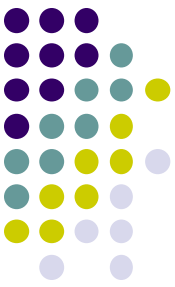
Određivanje P(s) – pristup zasnovan na signalu

- Formulacija ovog pristupa: minimizirati otežanu pogrešku upravljanja e i upravljački ulaz u u prisustvu reference r i poremećaja (smetnje) d .



- Vektor ulaza w i vektor z su:

$$w = \begin{bmatrix} r \\ d \end{bmatrix}, \quad z = \begin{bmatrix} W_P e \\ W_u u \end{bmatrix}$$



Opća upravljačka konfiguracija

- U otvorenoj petlji ($n = 0$) imamo:

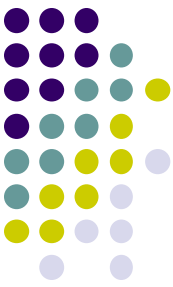
$$z_1 = W_P e = W_P(r - d - Gu) = W_P(w_1 - w_2 - Gu)$$

$$z_2 = W_u u$$

$$v = e = r - d - Gu = w_1 - w_2 - Gu$$

- Na temelju ovih izraza slijedi izraz za $P(s)$:

$$P(s) = \begin{bmatrix} W_P(s)I & -W_P(s)I & -W_P(s)G(s) \\ 0 & 0 & W_u(s)I \\ -I & -I & -G(s) \end{bmatrix}$$



Opća upravljačka konfiguracija

Određivanje $P(s)$ – oblikovanje funkcija prijenosa

- Razmatra se oblikovanje funkcija prijenosa zatvorene petlje, S i T , rješavanjem problema optimizacije:

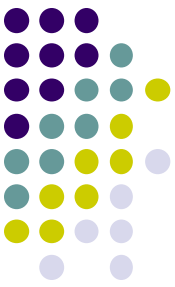
$$\min_K \left\| \begin{bmatrix} W_P S \\ W_T T \end{bmatrix} \right\|_m \Rightarrow F(P, K) = \begin{bmatrix} W_P S \\ W_T T \end{bmatrix}$$

- Signali w i z odabiru se tako da je:

$$z = \begin{bmatrix} W_P S \\ W_T T \end{bmatrix} w$$

- Budući da je $e = Sd$ i $y - d = Td$, odabiremo:

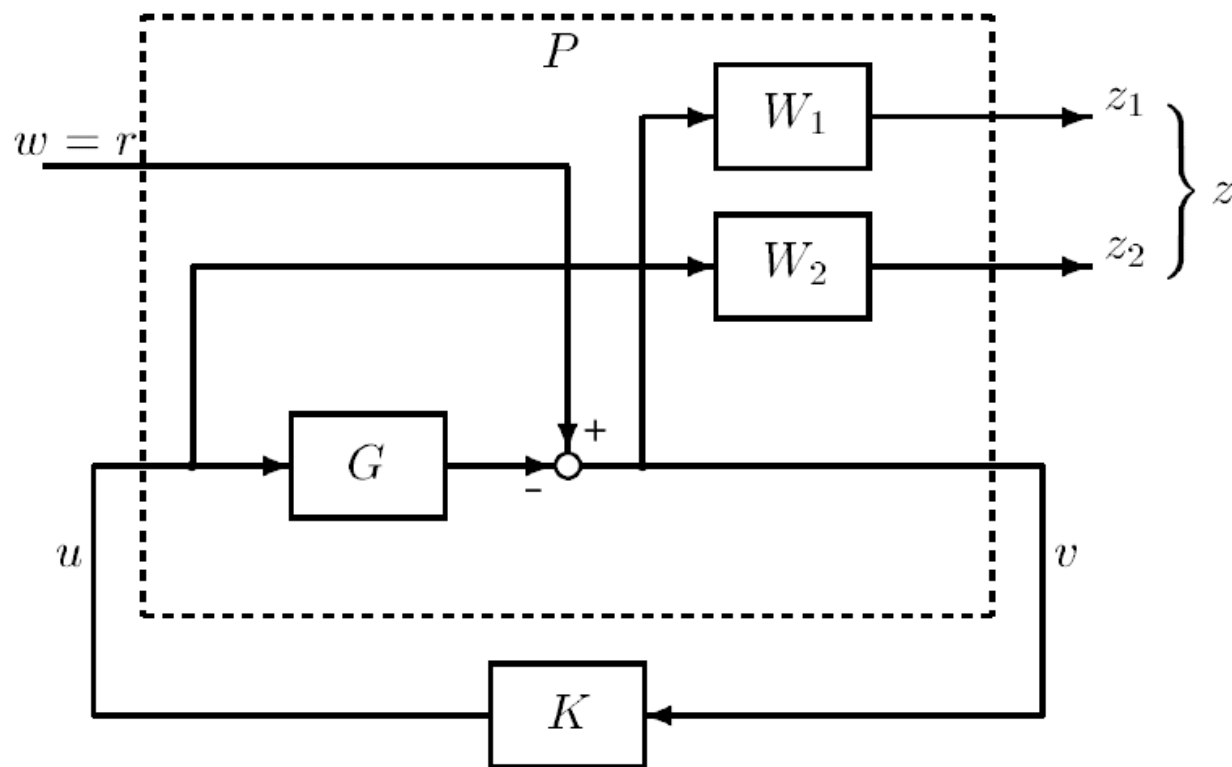
$$w = d; \quad z = \begin{bmatrix} W_P e \\ W_T (y - d) \end{bmatrix}$$

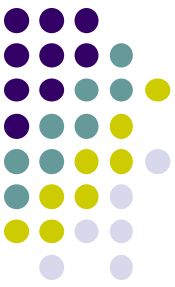


Opća upravljačka konfiguracija

- Korištenjem prethodnih izraza dobiva se:

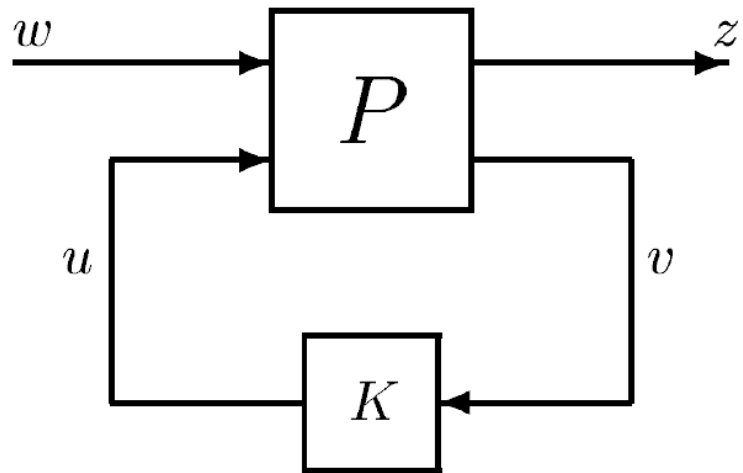
$$P(s) = \begin{bmatrix} -W_P(s)I & -W_P(s)G(s) \\ 0 & W_T(s)G(s) \\ -I & -G(s) \end{bmatrix}$$





Sinteza regulatora

- Opća upravljačka struktura



$$\begin{bmatrix} z \\ v \end{bmatrix} = P(s) \begin{bmatrix} w \\ u \end{bmatrix} = \begin{bmatrix} P_{11}(s) & P_{12}(s) \\ P_{21}(s) & P_{22}(s) \end{bmatrix} \begin{bmatrix} w \\ u \end{bmatrix}$$

$$u = K(s)v$$

- Realizacija generaliziranog procesa $P(s)$ u prostoru stanja:

$$P = \begin{array}{c|cc} s & \begin{array}{ccc} A & B_1 & B_2 \end{array} \\ \hline \begin{array}{c|cc} C_1 & D_{11} & D_{12} \\ C_2 & D_{21} & D_{22} \end{array} & \end{array}$$

Sinteza regulatora

- Funkcija prijenosa zatvorenog sistema od w prema z dana je linearnom frakcijskom transformacijom:

$$z = F_l(\mathbf{P}, \mathbf{K})w$$

gdje je:

$$F_l(\mathbf{P}, \mathbf{K}) = \mathbf{P}_{11} + \mathbf{P}_{12}\mathbf{K}(\mathbf{I} - \mathbf{P}_{22}\mathbf{K})^{-1}\mathbf{P}_{21}$$

- H_2 i H_∞ upravljanja uključuju minimiziranje H_2 i H_∞ normi od $F_l(\mathbf{P}, \mathbf{K})$.
- Oba upravljanja zahtijevaju rješavanje **dvije Riccatijeve jednadžbe**, njihovi regulatori imaju **dimenziju stanja jednaku dimenziji generaliziranog procesa P** i oba regulatora imaju separiranu strukturu.

Sinteza regulatora

- Algebarske Riccatijeve jednadžbe (ARE) su oblika:

$$A^T X + X A + X R X + Q = 0$$

- Standardni algoritmi za rješavanje H_2 i H_∞ optimalnih upravljačkih problema zasnivaju se na realizaciji generaliziranog procesa $P(s)$ u prostoru stanja:

$$P(s) = \begin{bmatrix} A & B_1 & B_2 \\ C_1 & D_{11} & D_{12} \\ C_2 & D_{21} & D_{22} \end{bmatrix}$$

gdje je $[w \ u]^T$ ulaz i $[z \ v]^T$ izlaz.

- Brojne pretpostavke o P -u obično trebaju biti zadovoljene kako bi se riješio problem optimizacije (algoritamska ovisnost).



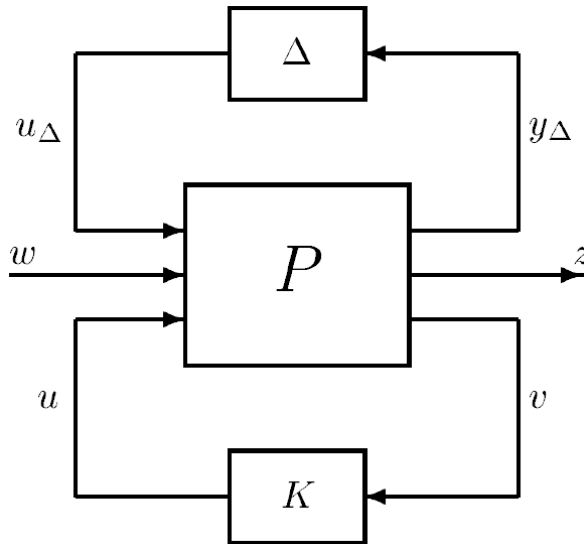
Sinteza regulatora

- **Prepostavka 1.** (A, B_2, C_2) stabilizirajuće i detektibilne.
 - Zahtijeva se za postojanje stabilizirajućeg K .
- **Prepostavka 2.** B_2 i B_2 imaju puni rang
 - Osigurava pravilan K
- **Prepostavka 3.** Matrica $\begin{bmatrix} A - j\omega I & B_2 \\ C_1 & D_{12} \end{bmatrix}$ ima puni rang za sve ω .
- **Prepostavka 4.** Matrica $\begin{bmatrix} A - j\omega I & B_1 \\ C_2 & D_{21} \end{bmatrix}$ ima puni rang za sve ω .
 - Izbjegavati poništavanje polova i nula na imaginarnoj osi (Prepostavke 3. i 4.).
- **Prepostavka 5.** $D_{11} = 0$ i $D_{22} = 0$.
 - Osižurava pravilne funkcije prijenosa (kod H_2).



Sinteza regulatora

- **Opći problem upravljanja sa neizvjesnošću**



$$z = F(P, K, \Delta)w$$

- RS (neizvjesnost predstavljana punom matricom): **H_∞ optimalno upravljanje** koje uključuje i funkciju prijenosa od u_Δ do u_Δ ukorporiranu u $F(P, K)$.
- RS za strukturiranu neizvjesnost i RP: **μ sinteza** (pogledati lekciju 4.):

$$\min_K \max_{\omega} \mu_{RP}(N)$$

H_2 optimalno upravljanje

- Standardni H_2 problem optimalnog upravljanja sastoji se od pronalaženja stabilizirajućeg regulatora \mathbf{K} koji minimizira:

$$\|\mathbf{F}(s)\|_2 = \sqrt{\frac{1}{2\pi} \int_{-\infty}^{\infty} \mathbf{F}(j\omega) \mathbf{F}(j\omega)^T d\omega}; \quad \mathbf{F} \stackrel{\Delta}{=} \mathbf{F}_l(\mathbf{P}, \mathbf{K})$$

- Interpretacije H_2 norme:
 - **Signal:** kovarijanca izlaza za ulaz bijelog šuma w :

$$\|\mathbf{F}(s)\|_2^2 = \lim_{t \rightarrow \infty} E\{z(t)^T z(t)\}, \quad E\{w(t)^T w(t)\} = \mathbf{I}\delta(t - \tau)$$

što slijedi iz Parsevalovog teorema:

$$E\{z(t)^T z(t)\} = \text{tr}E\{z(t)z(t)^T\} = \frac{1}{2\pi} \int_{-\infty}^{\infty} \text{tr}[\mathbf{F}(j\omega) \mathbf{F}(j\omega)^H] d\omega$$

H_2 optimalno upravljanje

- **Sistem:** suma područja svih singularnih vrijednosti od F :

$$\|F(s)\|_2 = \sqrt{\frac{1}{2\pi} \int_{-\infty}^{\infty} \sigma_i^2(F(j\omega)) d\omega}$$

- Minimizacija kovarijance izlaza za ulaz tipa bijelog šuma sličan je LQG problemu – RMS (Root-Mean-Square minimizacija).
- Problem H_2 optimalnog upravljanja može se eksplicitno riješiti pomoću dvije Riccatijeve jednadžbe.
- Rješenje se može iskazati u formi **optimalni observer stanja + optimalna povratna veza stanja** (optimal state feedback).



LQG optimalno upravljanje

- Specijalan slučaj H_2 optimalnog upravljanja.
- Promatra se stohastički sistem:

$$\dot{\mathbf{x}} = A\mathbf{x} + \mathbf{B}\mathbf{u} + \mathbf{w}_d$$

$$\mathbf{y} = \mathbf{C}\mathbf{x} + \mathbf{w}_n$$

sa:

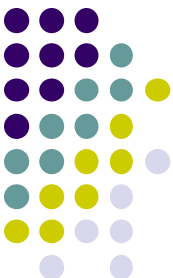
$$E\left\{\begin{bmatrix} \mathbf{w}_d(t) \\ \mathbf{w}_n(t) \end{bmatrix} \begin{bmatrix} \mathbf{w}_d(\tau)^T & \mathbf{w}_n(\tau)^T \end{bmatrix}\right\} = \begin{bmatrix} \mathbf{W} & \mathbf{0} \\ \mathbf{0} & \mathbf{V} \end{bmatrix} \delta(t - \tau)$$

- LQG problem \Rightarrow naći $\mathbf{u} = \mathbf{K}(s)\mathbf{y}$ takav da je:

$$J = E\left\{\lim_{T \rightarrow \infty} \frac{1}{T} \int_0^T [\mathbf{x}^T \mathbf{Q} \mathbf{x} + \mathbf{u}^T \mathbf{R} \mathbf{u}] dt\right\}$$

\mathbf{Q} i \mathbf{R} su odabране konstantne težinske matrice (parametri sinteze).

minimiziran sa $\mathbf{Q} = \mathbf{Q}^T \geq \mathbf{0}$ i $\mathbf{R} = \mathbf{R}^T \geq \mathbf{0}$.



LQG optimalno upravljanje

- LQG problem može se prikazati kao H_2 optimizacija.
- Definirajmo signal greške z kao:

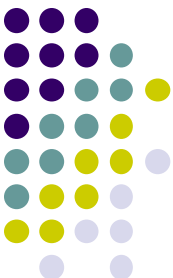
$$z = \begin{bmatrix} Q^{\frac{1}{2}} & \mathbf{0} \\ \mathbf{0} & R^{\frac{1}{2}} \end{bmatrix} \begin{bmatrix} x \\ u \end{bmatrix}$$

i predstavimo stohastičke ulaze w_d i w_n kao:

$$\begin{bmatrix} w_d \\ w_n \end{bmatrix} = \begin{bmatrix} W^{\frac{1}{2}} & \mathbf{0} \\ \mathbf{0} & V^{\frac{1}{2}} \end{bmatrix} w$$

gdje je w procesni bijeli šum jedinične vrijednosti:

$$E\{w(\tau)^T w(\tau)\} = \delta(t - \tau) I$$



LQG optimalno upravljanje

- LQG funkcija kakvoće:

$$J = E \left\{ \lim_{T \rightarrow \infty} \frac{1}{T} \int_0^T z(t)^T z(t) dt \right\} = \| F_l(\mathbf{P}, \mathbf{K}) \|_2^2$$

gdje je:

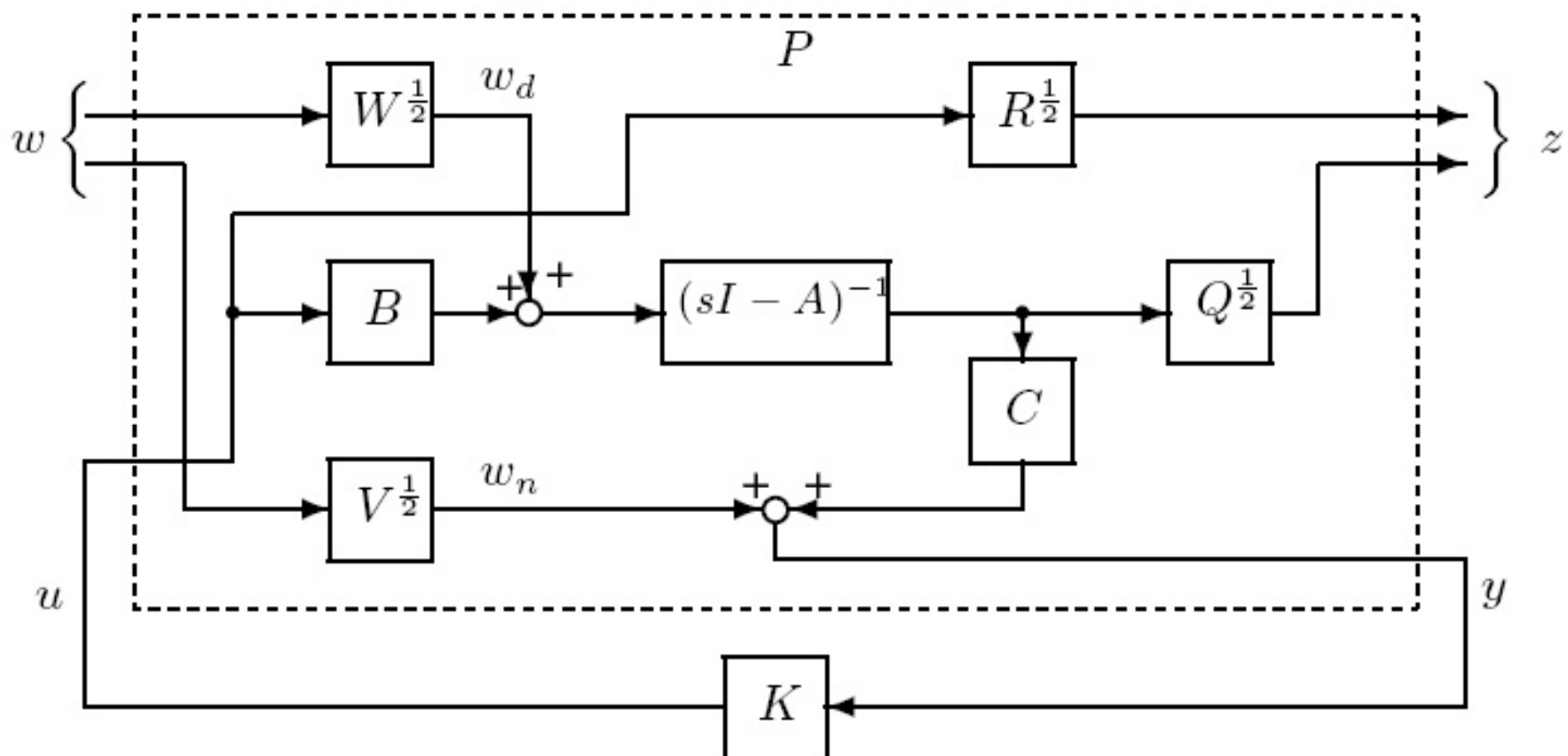
$$\mathbf{z}(s) = F_l(\mathbf{P}, \mathbf{K}) \mathbf{w}(s)$$

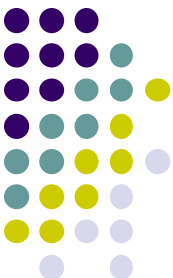
i korespondentni generalizirani proces \mathbf{P} je:

$$\mathbf{P} = \begin{bmatrix} \mathbf{P}_{11} & \mathbf{P}_{12} \\ \mathbf{P}_{21} & \mathbf{P}_{22} \end{bmatrix} = \begin{bmatrix} \mathbf{A} & \mathbf{W}^{1/2} & \mathbf{0} & \mathbf{B} \\ \mathbf{Q}^{1/2} & \mathbf{0} & \mathbf{0} & \mathbf{0} \\ \mathbf{0} & \mathbf{0} & \mathbf{0} & \mathbf{R}^{1/2} \\ \mathbf{C} & \mathbf{0} & \mathbf{V}^{1/2} & \mathbf{0} \end{bmatrix}$$

LQG optimalno upravljanje

- Opća upravljačka konfiguracija za LQG kao problem H_2 optimalnog upravljanja.





LQG optimalno upravljanje - rješenje

- **Optimalna povratna veza stanja:**

$$\mathbf{u}(t) = -\mathbf{R}^{-1} \mathbf{B}^T \mathbf{X} \hat{\mathbf{x}}(t)$$

gdje $\mathbf{X} = \mathbf{X}^T \geq \mathbf{0}$ rješava ARE:

$$\mathbf{A}^T \mathbf{X} + \mathbf{X} \mathbf{A} - \mathbf{X} \mathbf{B} \mathbf{R}^{-1} \mathbf{B}^T \mathbf{X} + \mathbf{Q} = \mathbf{0}$$

- **Optimalni estimator stanja:**

$$\dot{\hat{\mathbf{x}}}(t) = \mathbf{A} \hat{\mathbf{x}}(t) + \mathbf{B} \mathbf{u}(t) + \mathbf{Y} \mathbf{C}^T \mathbf{V}^{-1} (\mathbf{y} - \mathbf{C} \hat{\mathbf{x}}(t))$$

gdje $\mathbf{Y} = \mathbf{Y}^T \geq \mathbf{0}$ rješava ARE:

$$\mathbf{Y} \mathbf{A}^T + \mathbf{A} \mathbf{Y} - \mathbf{Y} \mathbf{C}^T \mathbf{V}^{-1} \mathbf{C} \mathbf{Y} + \mathbf{W} = \mathbf{0}$$

- Opći H_2 optimalni regulator može se separirati u optimalnu povratnu vezu stanja kombiniranu sa optimalnim estimatorom stanja, gdje svaki uključuje rješavanje po jedne ARE.

H_∞ optimalno upravljanje

- U skladu sa općom upravljačkom konfiguracijom sa slajda 14. standardni H_∞ problem optimalnog upravljanja sastoji se u pronalaženju stabilizirajućeg regulatora K koji minimizira:

$$\|F_l(P, K)\|_\infty = \max_{\omega} \bar{\sigma}(F_l(P, K)(\omega))$$

tj.

$$\min_K \|F_l(P, K)\|_\infty = \min_K \max_{\omega} \bar{\sigma}(F_l(P, K)(\omega))$$

- Interpretacije H_∞ norme:
 - **Signal: maksimizacija izlaza** s obzirom na ulaz (najlošiji slučaj – inducirana 2-norma):

$$\|F\|_\infty = \max_{w(t) \neq 0} \frac{\|z(t)\|_2}{\|w(t)\|_2}$$

$$\|z(t)\|_\infty = \sqrt{\int_0^\infty \sum_i |z_i(t)|^2 dt}$$



H_∞ optimalno upravljanje

“Najlošiji slučaj” signala odgovara sinusoidama sa fiksnom frekvencijom.

27/67

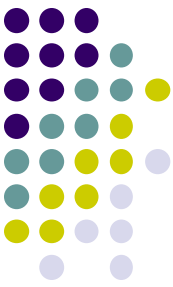
- **Sistem: vršna vrijednost maksimuma singularne vrijednosti:**

$$\|F\|_\infty = \max_{\omega} \bar{\sigma}(F)$$

- H_∞ optimalni problem općenito se ne može riješiti eksplicitno.
- Međutim, moguće je odrediti regulator koji daje:

$$\|F\|_\infty < \gamma$$

za fiksni γ , ako takav regulator postoji.



H_∞ optimalno upravljanje

Opći H_∞ algoritam

- Promatrajmo realizaciju generaliziranog procesa u prostoru stanja za strukturu sa slajda 14.:

$$\mathbf{P} = \begin{bmatrix} A & \mathbf{B}_1 & \mathbf{B}_2 \\ \mathbf{C}_1 & \mathbf{D}_{11} & \mathbf{D}_{12} \\ \mathbf{C}_2 & \mathbf{D}_{21} & \mathbf{D}_{22} \end{bmatrix}$$

- Prepostavimo da vrijede ranije prepostavke (1.- 5.) i prepostavke: (6.) $\mathbf{D}_{12} = [\mathbf{0} \ \mathbf{I}]^T$, $\mathbf{D}_{21} = [\mathbf{0} \ \mathbf{I}]$, (7.) $\mathbf{D}_{12}^T \mathbf{C}_1 = \mathbf{0}$, $\mathbf{B}_1 \mathbf{D}_{21}^T = \mathbf{0}$, (8.) (A, \mathbf{B}_1) moguće stabilizirati i (A, \mathbf{B}_1) moguće detektirati.

H_∞ optimalno upravljanje

- Ukoliko vrijede navedene pretpostavke, tada postoji regulator $\mathbf{K}(s)$ takav da je $\|\mathbf{F}(\mathbf{P}, \mathbf{K})\|_\infty < \gamma$ ako i samo ako Riccatijeve jednadžbe:

$$\mathbf{A}^T \mathbf{X}_\infty + \mathbf{X}_\infty \mathbf{A} + \mathbf{C}_1^T \mathbf{C}_1 + \mathbf{X}_\infty (\gamma^{-2} \mathbf{B}_1 \mathbf{B}_1^T - \mathbf{B}_2 \mathbf{B}_2^T) \mathbf{X}_\infty = \mathbf{0}$$

$$\mathbf{A} \mathbf{Y}_\infty + \mathbf{Y}_\infty \mathbf{A}^T + \mathbf{B}_1 \mathbf{B}_1^T + \mathbf{Y}_\infty (\gamma^{-2} \mathbf{C}_1^T \mathbf{C}_1 - \mathbf{C}_2^T \mathbf{C}_2) \mathbf{Y}_\infty = \mathbf{0}$$

imaju rješenja $\mathbf{X}_\infty \geq \mathbf{0}$ i $\mathbf{Y}_\infty \geq \mathbf{0}$ takva da za $\forall i$ vrijedi:

$$\operatorname{Re} \lambda_i \left[\mathbf{A} + (\gamma^{-2} \mathbf{B}_1 \mathbf{B}_1^T - \mathbf{B}_2 \mathbf{B}_2^T) \mathbf{X}_\infty \right] < 0$$

$$\operatorname{Re} \lambda_i \left[\mathbf{A} + \mathbf{Y}_\infty (\gamma^{-2} \mathbf{C}_1^T \mathbf{C}_1 - \mathbf{C}_2^T \mathbf{C}_2) \mathbf{Y}_\infty \right] < \rho(\mathbf{X}_\infty, \mathbf{Y}_\infty) < \gamma^2$$

- Ako takvo rješenje postoji tada postoji skup regulatora \mathbf{K} koji zadovoljava uvjet $\|\mathbf{F}(\mathbf{P}, \mathbf{K})\|_\infty < \gamma$.



H_∞ optimalno upravljanje

- Centralni regulator ima jednak broj stanja kao i generalizirani proces $P(s)$ i može se prikazati u formi observer + povratna veza stanje:

$$\begin{aligned}\dot{\hat{x}} &= A\hat{x} + \mathbf{B}_1\gamma^{-2}\mathbf{B}_1^T X_\infty \hat{x} + \mathbf{B}_2 u + \mathbf{Z}_\infty \mathbf{L}_\infty (\mathbf{C}_2 \hat{x} - y) \\ u &= \mathbf{F}_\infty \hat{x}\end{aligned}$$

gdje su:

$$\mathbf{F}_\infty = \mathbf{B}_2^T X_\infty; \quad \mathbf{L}_\infty = -Y_\infty C_2^T; \quad \mathbf{Z}_\infty = (I - \gamma^{-2} Y_\infty X_\infty)^{-1}$$

- Da bi se odredio H_∞ optimalni regulator, obavljati iteracije dok se ne pronađe minimum od γ za koji rješenje postoji (γ iteracije).
- Ovo predstavlja problem konveksne optimizacije.

H_∞ upravljanje mješovite osjetljivosti

- **Mješovita osjetljivost** (mixed-sensitivity) vezana je za probleme oblikovanja funkcije prijenosa u kojoj je funkcija osjetljivosti $S = (I + GK)^{-1}$ oblikovana zajedno sa još jednom ili više funkcija prijenosa zatvorene petlje, kao što su KS ili $T = I - S$.
- Zahtjevi na sintezu regulatora:
 - eliminiranje utjecaja smetnje d na izlazu procesa,
 - pretpostavka da je šum mjerena relativno nevažan.
- Ovaj pristup je zasnovan na oblikovanju sljedećih funkcija prijenosa:
 - S (funkcija prijenosa između d i izlaza)
 - KS (funkcija prijenosa između d i upravljačkih signala).

H_∞ upravljanje mješovite osjetljivosti

- Smetnja d je niskofrekvenčni signal \Rightarrow uspješno eliminiranje ako se maksimum singularne vrijednosti od S učini malim unutar tih frekvencija.
- Drugim riječima, da bi se optimale performanse potrebno je minimizirati:

$$\|w_1 S\|_\infty \quad w_1 - \text{niskopropusni filter}$$

- Da bi se minimizirali upravljački ulazi, potrebno je minimizirati:

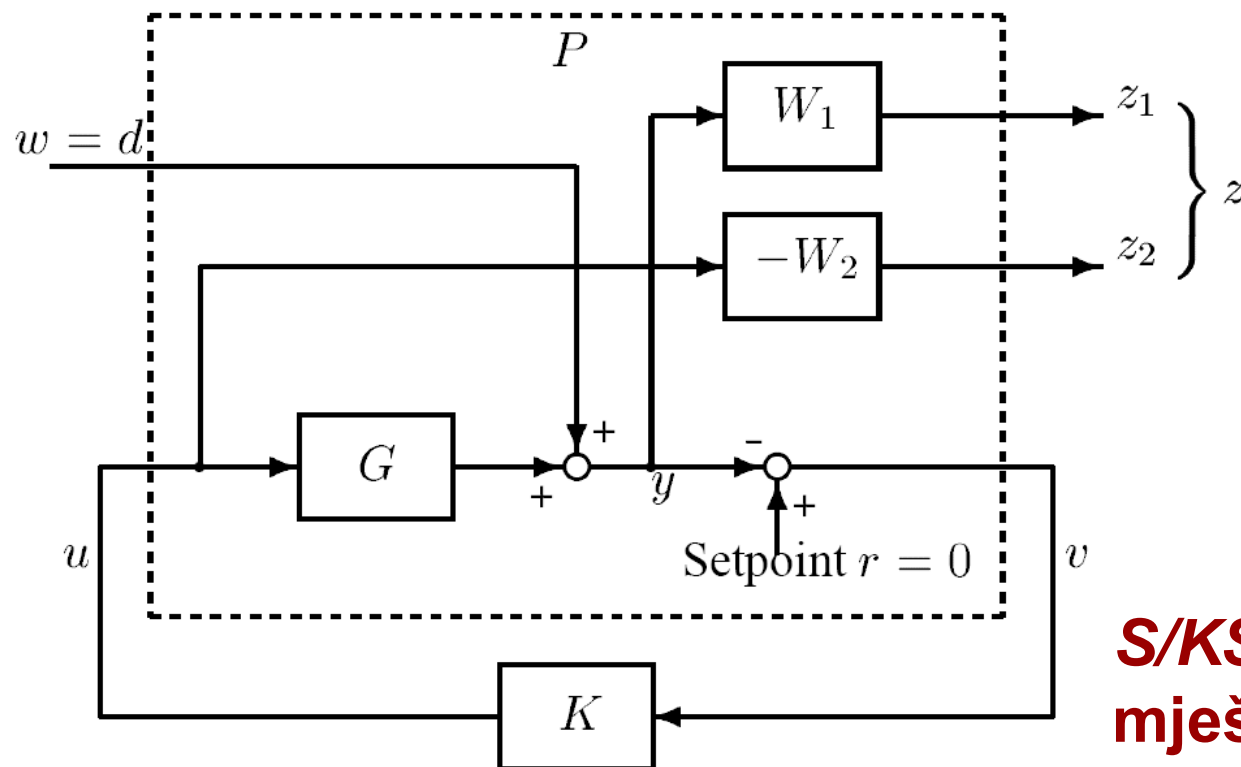
$$\|w_2 K S\|_\infty \quad w_2 - \text{visokopropusni filter}$$

- Kompromis između ova dva zahtjeva:

$$\boxed{\left\| \begin{bmatrix} w_1 S \\ w_2 K S \end{bmatrix} \right\|_\infty}$$

H_∞ upravljanje mješovite osjetljivosti

- Općenito se skalarne težinske funkcije $w_1(s)$ i $w_2(s)$ mogu zamijeniti matricama $W_1(s)$ i $W_2(s)$.
- Opća postavka: smetnja d kao pojedinačni vanjski ulaz, signal pogreške $z = \begin{bmatrix} z_1^T & z_2^T \end{bmatrix}^T$; $z_1 = W_1 y$, $z_2 = -W_2 y$



**S/KS optimizacija
mješovite osjetljivosti**

H_∞ upravljanje mješovite osjetljivosti

- Na temelju prethodnih izraza imamo $z_1 = W_1 S w$ i
 $z_2 = W_2 K S w$ i

$$\begin{aligned} \mathbf{P}_{11} &= \begin{bmatrix} \mathbf{W}_1 \\ \mathbf{0} \end{bmatrix} & \mathbf{P}_{12} &= \begin{bmatrix} \mathbf{W}_1 \mathbf{G} \\ -\mathbf{W}_2 \end{bmatrix} \\ \mathbf{P}_{21} &= -\mathbf{I} & \mathbf{P}_{22} &= -\mathbf{G} \end{aligned}$$

odnosno:

$$\begin{bmatrix} z_1 \\ z_2 \\ v \end{bmatrix} = \begin{bmatrix} \mathbf{P}_{11} & \mathbf{P}_{12} \\ \mathbf{P}_{21} & \mathbf{P}_{22} \end{bmatrix} \begin{bmatrix} w \\ u \end{bmatrix}$$

i

$$F_l(\mathbf{P}, \mathbf{K}) = \begin{bmatrix} \mathbf{W}_1 S \\ \mathbf{W}_2 \mathbf{K} S \end{bmatrix}$$

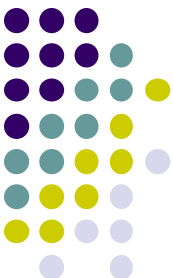
H_∞ upravljanje mješovite osjetljivosti

- Drug koristan problem optimizacije zasnovan na mješovitoj osjetljivosti je pronaći stabilizirajući regulator koji minimizira:

$$\left\| \begin{bmatrix} W_1 S \\ W_2 T \end{bmatrix} \right\|_\infty$$

- S/T problem optimizacije mješovite osjetljivosti može se ukorporirati u standardnu upravljačku konfiguraciju (slika na sljedećem slajdu):

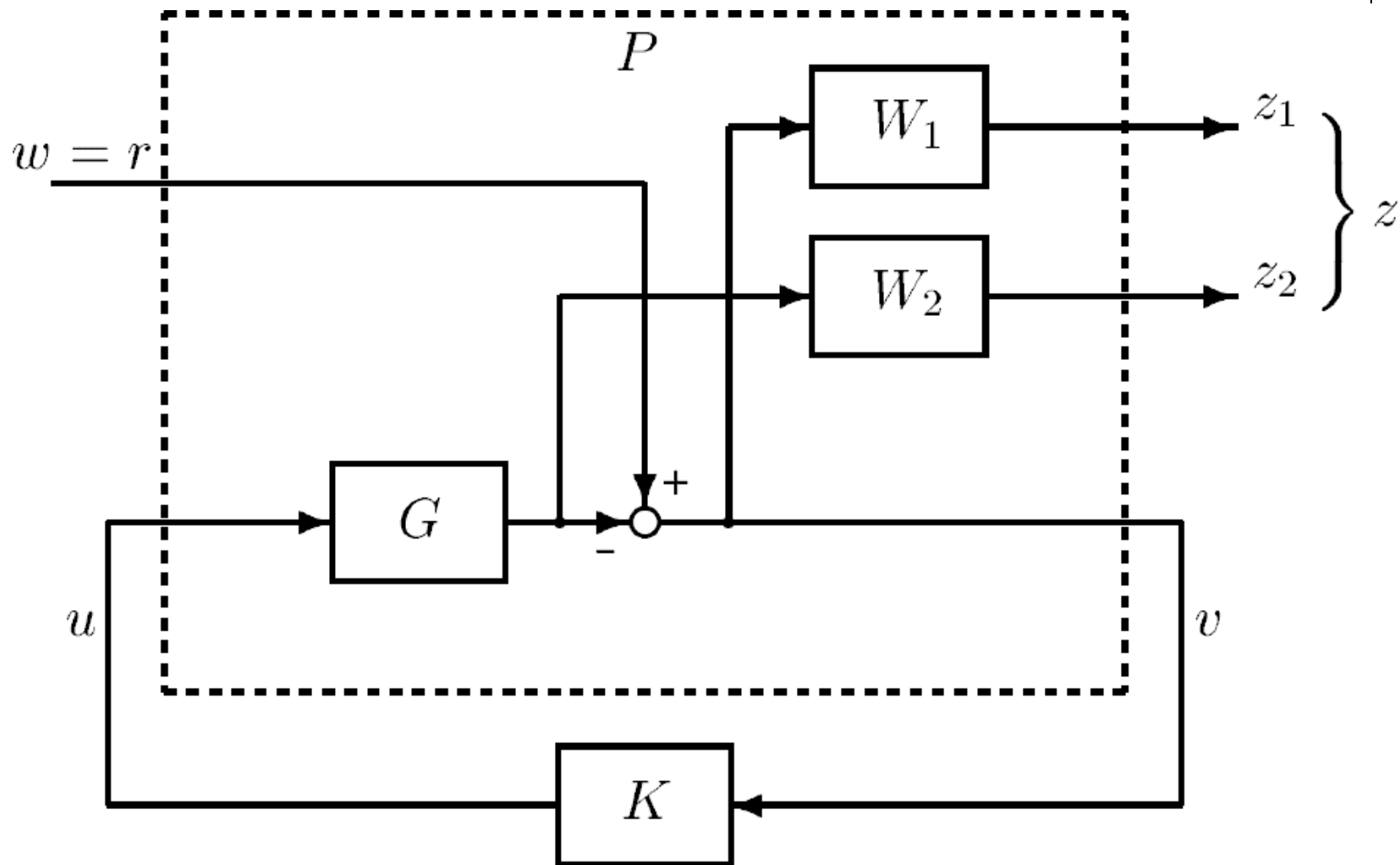
$$\begin{aligned} P_{11} &= \begin{bmatrix} W_1 \\ \mathbf{0} \end{bmatrix} & P_{12} &= \begin{bmatrix} -W_1 G \\ W_2 G \end{bmatrix} \\ P_{21} &= -I & P_{22} &= -G \end{aligned}$$

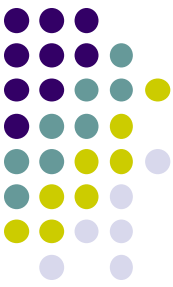


36/67

H_∞ upravljanje mješovite osjetljivosti

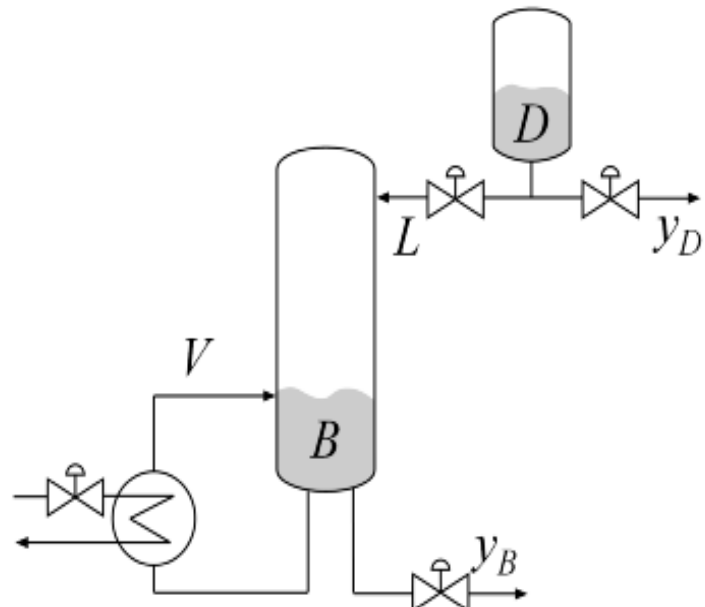
- S/T minimizacija mješovite osjetljivosti





Primjer sinteze H_∞ upravljanja

- **Destilacijska kolona (LV konfiguracija)**

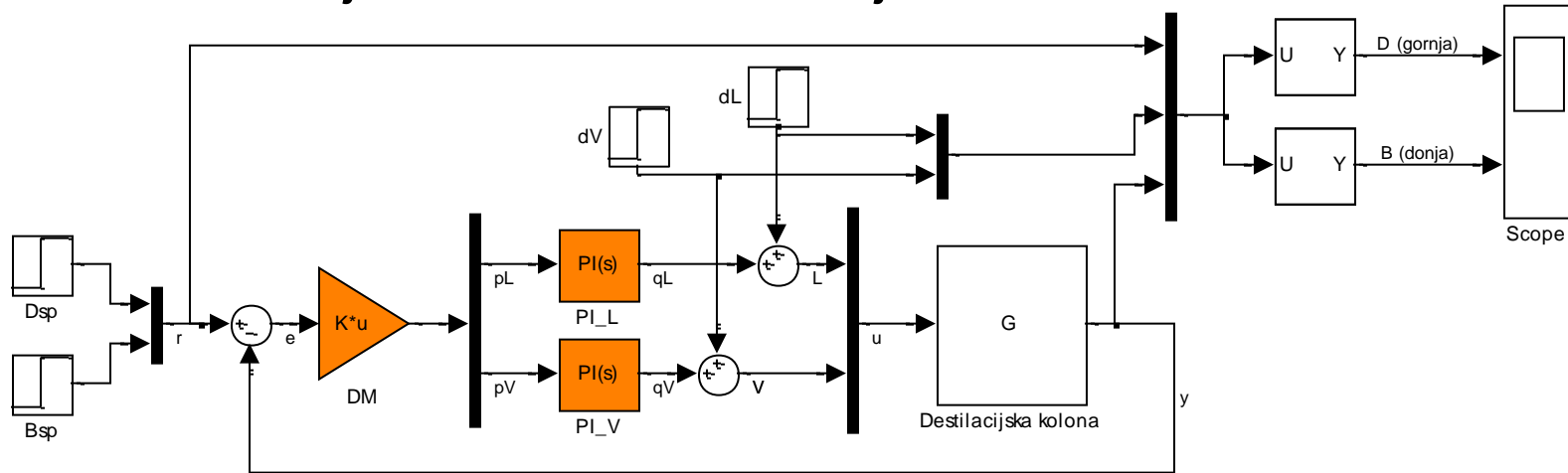


$$G(s) = \frac{1}{75s + 1} \begin{bmatrix} 87.8 & -86.4 \\ 108.2 & -109.6 \end{bmatrix}$$

- Upravljane varijable su koncentracije y_D i y_B hemikalija *D* (gornja posuda) i *B* (donja posuda). Upravljačke varijable su temperatura *V* i protok *L*.
- Proces je modeliran kao matrica prijenosa čiji su ulazi *L* i *V* i izlazi y_D i y_B .

Primjer sinteze H_∞ upravljanja

- Simulacijski model destilacijske kolone.



- **Osnovni zahtjevi na sistem upravljanja su:**

- neovisno upravljanje koncentracijama hemikalija u koloni osiguravajući da promjena postavne veličine za jednu koncentraciju ima mali utjecaj na drugu koncentraciju i obratno,
- vrijeme odziva oko deset minuta,
- neosjetljivost odlaznog toka iz posude i temperature zagrijavanja koncentracije na djelovanje poremećaja.

Primjer sinteze H_{∞} upravljanja

- Za postizanje navedenih ciljeva koristi se upravljačka arhitektura sa statičkom matricom rasprezanja (na slici DM) u seriji sa dva paralelna PI regulatora za regulaciju L i V .
- Potrebno je obaviti namještanje matrice rasprezanja DM i koeficijenta PI regulatora.
- Prvi korak se sastoji u parametrizaciji podesivih elemenata matrice DM.
- Na ovaj način se kreira (2×2) matrica statičkih pojačanja sa četiri podesiva parametra.
- Da bi se eliminirali redundantni parametri obavlja se normiranje PI regulatora, fiksiranjem proporcionalnih pojačanja K_p na jedinične vrijednosti.



Primjer sinteze H_∞ upravljanja

- Nakon toga se formuliraju specifikacije dizajna kao H_∞ sinteza.
- Jedan od mogućih izbora – podesiti željeni propusni opseg za funkcije osjetljivosti S i komplementarne osjetljivosti T zatvorenog sistema.
- Ovo vodi ka kriteriju dizajna mješovite osjetljivosti:

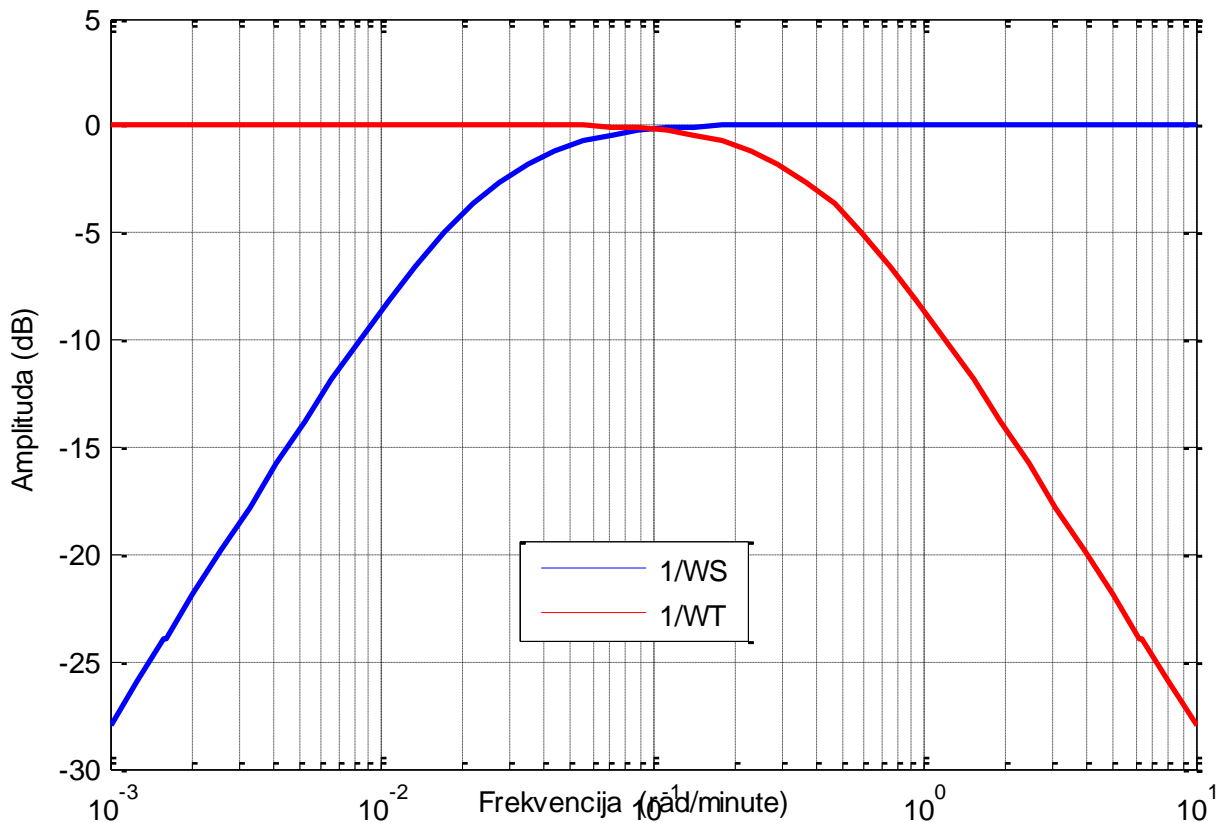
$$\left\| \begin{bmatrix} w_S S \\ w_T T \end{bmatrix} \right\|_\infty < 1$$

- Na ovaj način w_S “prisiljava” S da bude malog iznosa unutar propusnog opsega, dok w_T prisiljava T da se kreće izvan propusnog opsega.

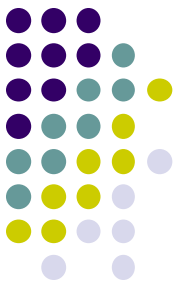
Primjer sinteze H_{∞} upravljanja

- Za ciljnu presječnu frekvenciju $\omega_c = 0.1$, dobar izbor težina je:

$$w_S = 0.99 + \frac{0.25}{s/\omega_c + 0.001}, \quad w_T = 0.99 + \frac{0.95 \cdot (s/\omega_c)}{0.001 \cdot s/\omega_c + 1}$$



Granice na pojačanja S i T
 $(1/w_S$ i $1/w_T)$

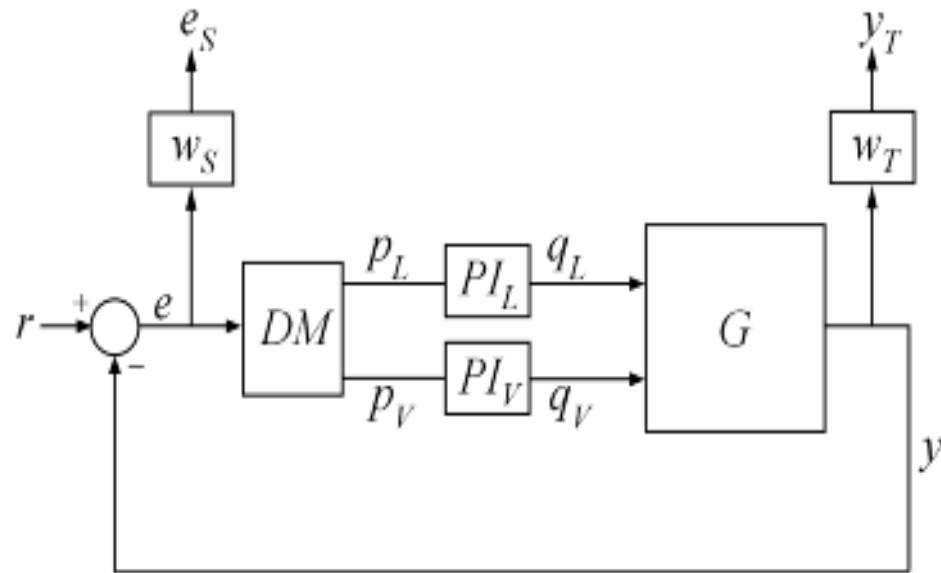


Primjer sinteze H_∞ upravljanja

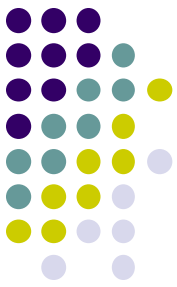
- Finalni korak je izgraditi parametarski model funkcije prijenosa:

$$\begin{bmatrix} w_S S \\ w_T T \end{bmatrix}$$

- Ova funkcija prijenosa preslikava r u (e_S, y_T) .

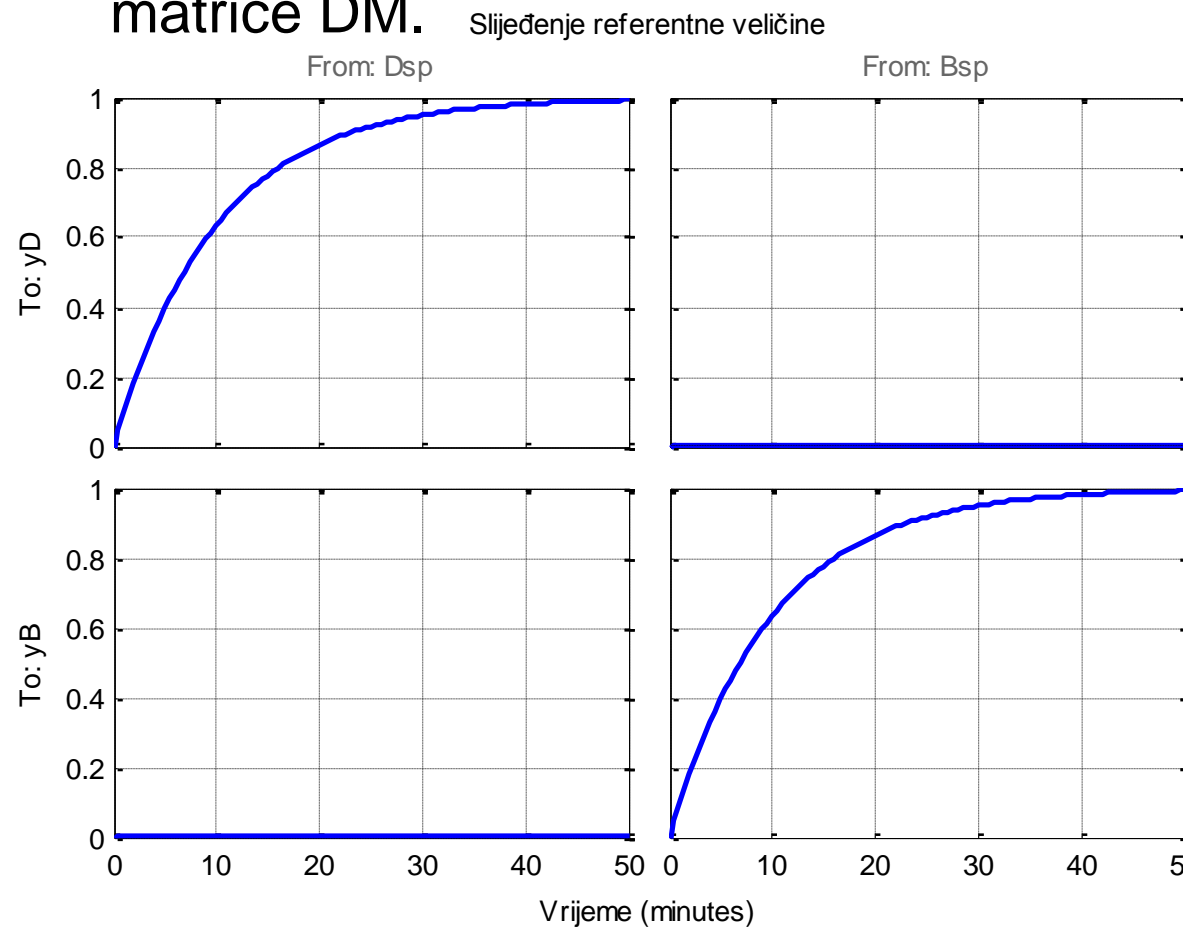


Blok dijagram za dizajn H_∞ za mješovitu osjetljivost



Primjer sinteze H_{∞} upravljanja

- Na temelju prethodne strukture konstruira se model u prostoru stanja koji predstavlja kriterij mješovite osjetljivosti.
- Ovaj model ovisi o podesivim parametrima PI regulatora i matrice DM.



Prvi dizajn:

Parametri PI_L1 regulatora:

$$K_p = 1, K_i = 0.0133$$

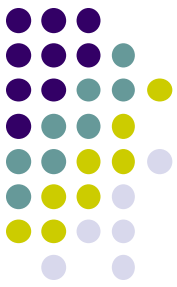
Parametri PI_L1 regulatora:

$$K_p = 1, K_i = 0.0133$$

Matrica DM:

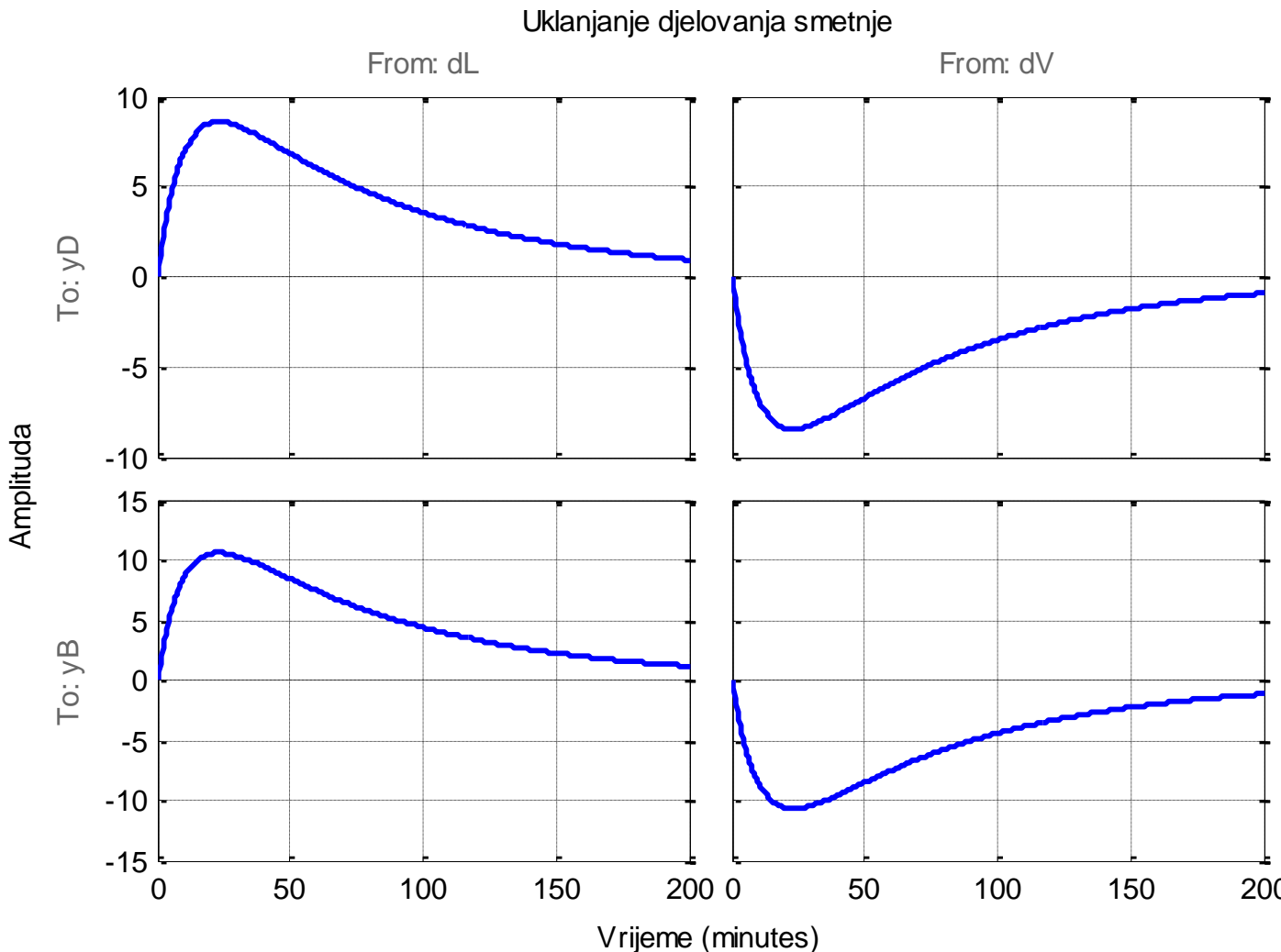
$$DM = \begin{bmatrix} 2.996 & -2.362 \\ 2.957 & -2.4 \end{bmatrix}$$

Dijagrami slijedenja
referentnih vrijednosti



Primjer sinteze H_{∞} upravljanja

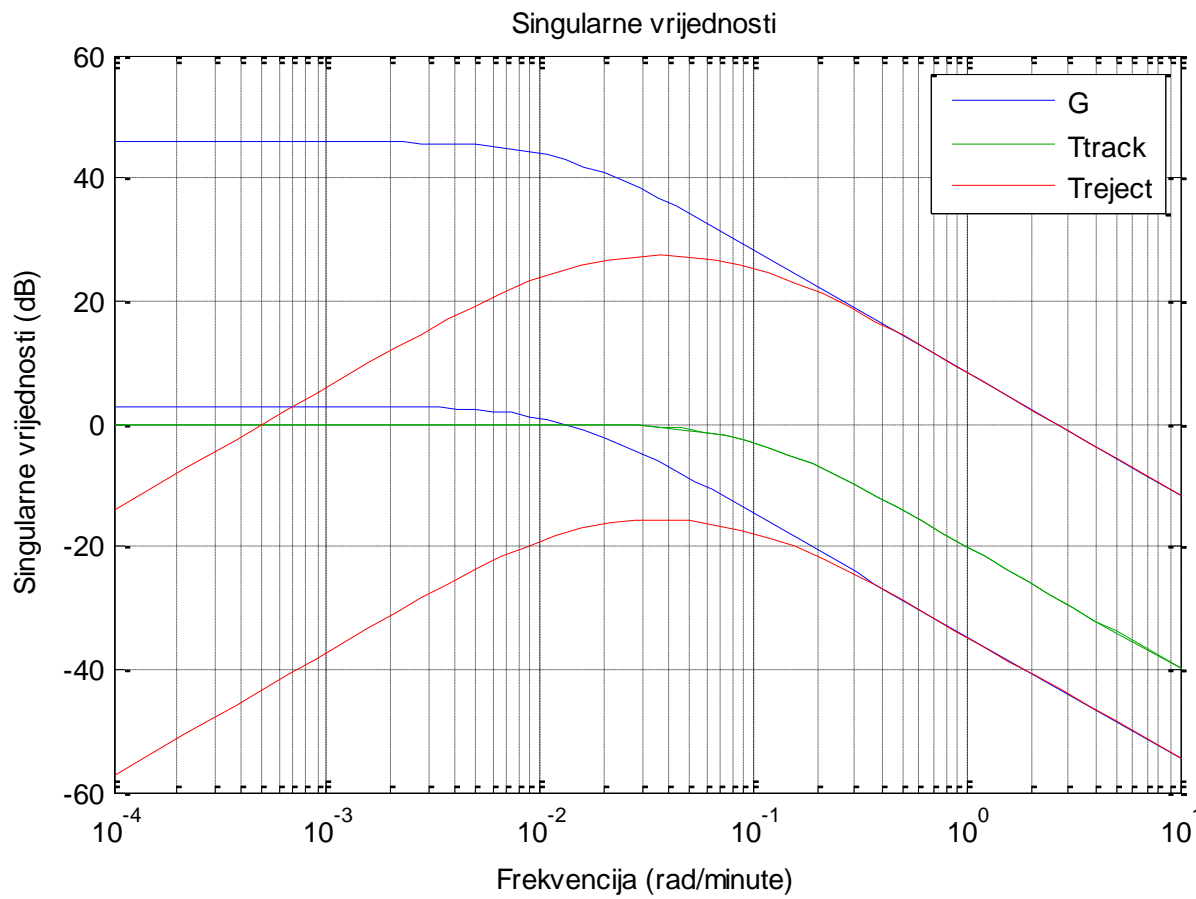
- Otklanjanje utjecaja djelovanja smetnji.



Dobro slijedenje
referentnih
veličina, slabo
otklanjanje
djelovanja
smetnji.

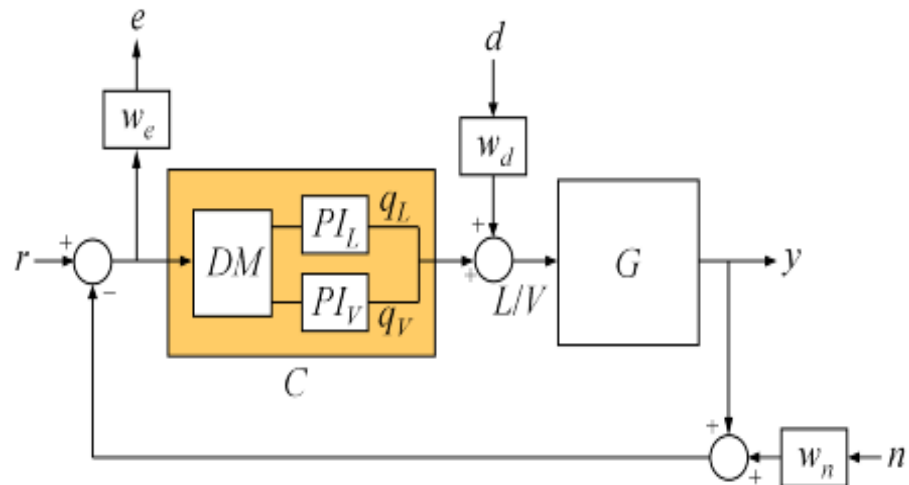
Primjer sinteze H_{∞} upravljanja

- Ispitivanje glavnih pojačanja (principal gains) funkcije prijenosa zatvorenog sistema od d prema y indicira da regulator ne prigušuje zadovoljavajuće neizvjesnost procesa na promjene ulaza.



Primjer sinteze H_∞ upravljanja

- Za poboljšanje otklanjanja djelovanja smetnje koristi se sljedeća unaprijeđena upravljačka struktura.

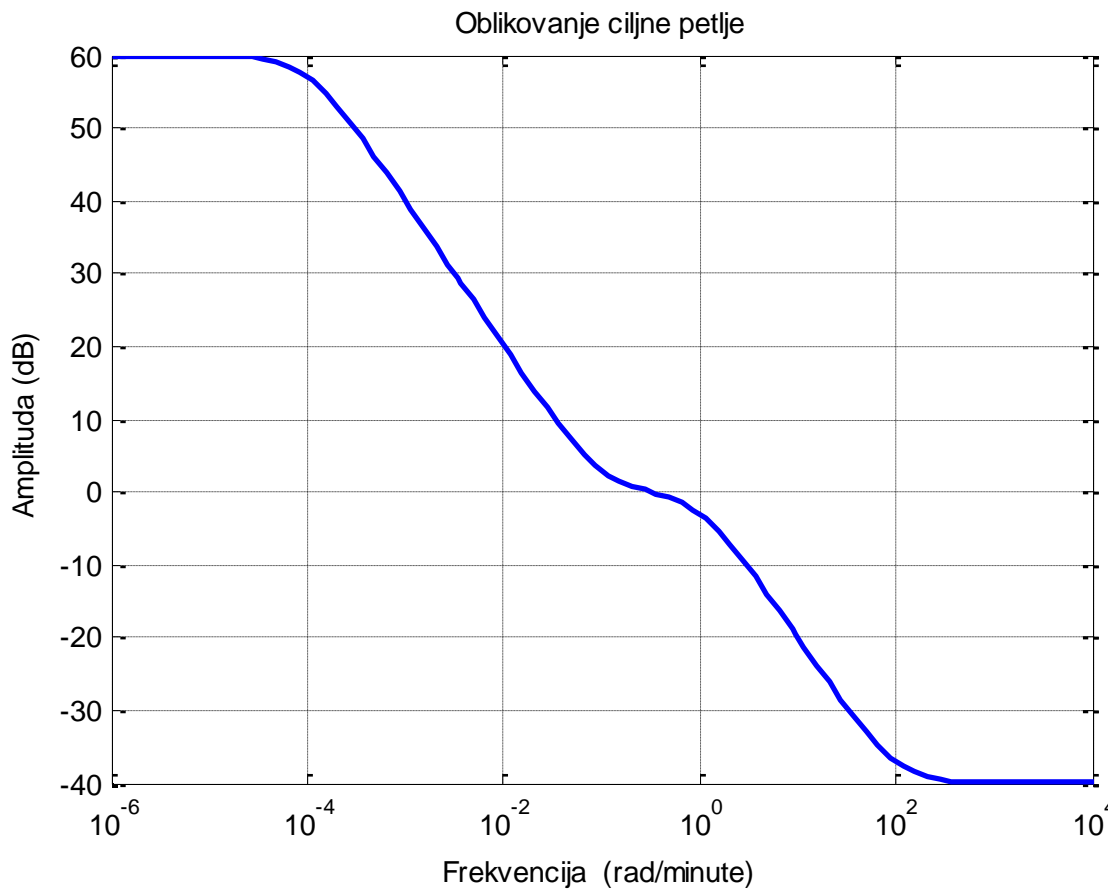


- Odabir težinskih funkcija ($\omega_c = 0.1$):

$$w_e = \frac{(s + \omega_c)}{s + \frac{\omega_c}{1000}} \frac{\frac{s}{1000\omega_c} + 1}{\frac{s}{10\omega_c} + 1}, \quad w_n = \frac{1}{w_e}, \quad w_d = 0.25$$

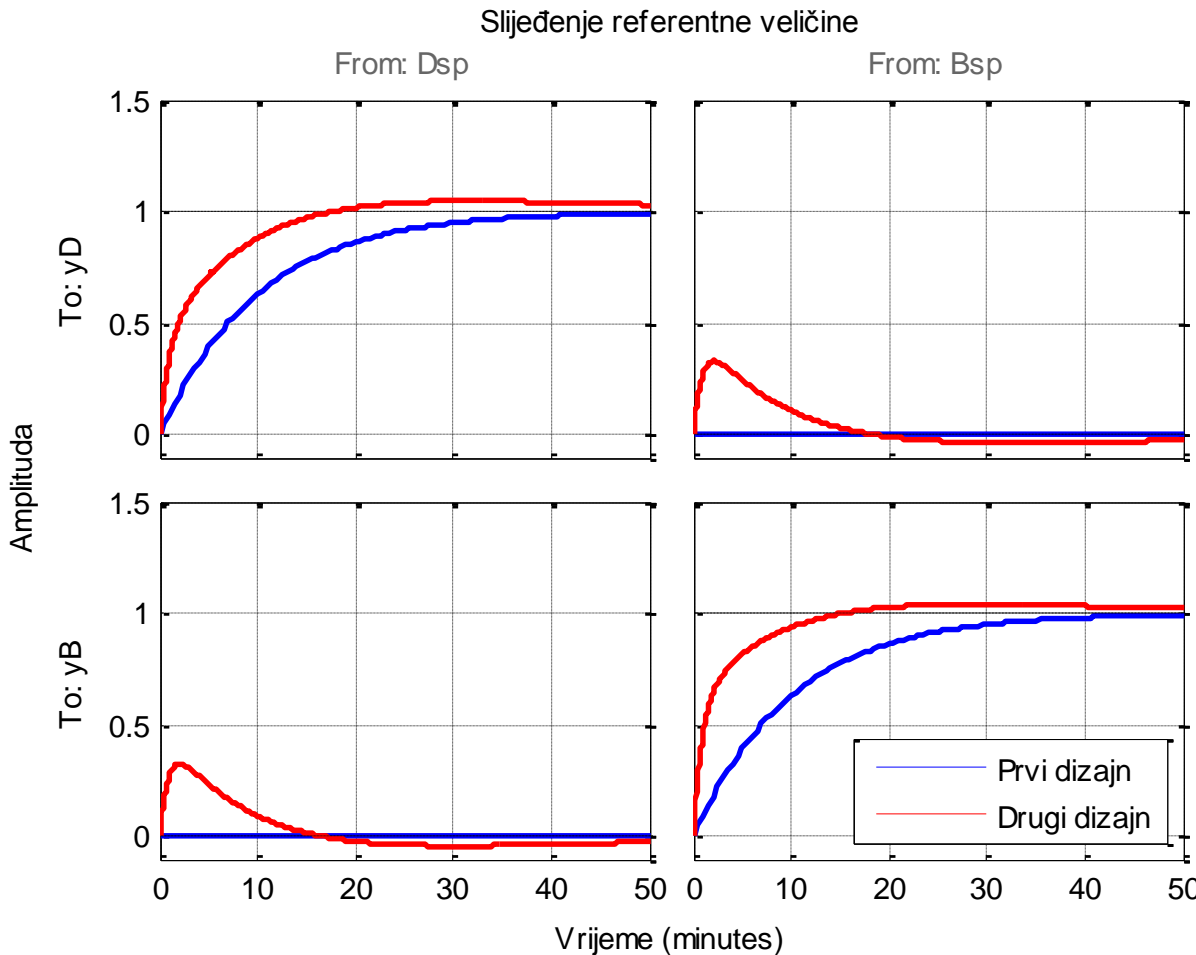
Primjer sinteze H_{∞} upravljanja

- w_e definira ciljni oblik odziva otvorene petlje (otvoreni sistem), predstavljen amplitudnom karakteristikom (Bodeov dijagram za w_e).



Primjer sinteze H_{∞} upravljanja

- Usporedba rezultata prvog i drugog regulatora (upravljačke strukture sa slajdova 40. i 44.) – slijedeće referentnih veličina.



Drugi dizajn:

Parametri PI_L2 regulatora:

$$K_p = 1, K_i = 0.0363$$

Parametri PI_V2 regulatora:

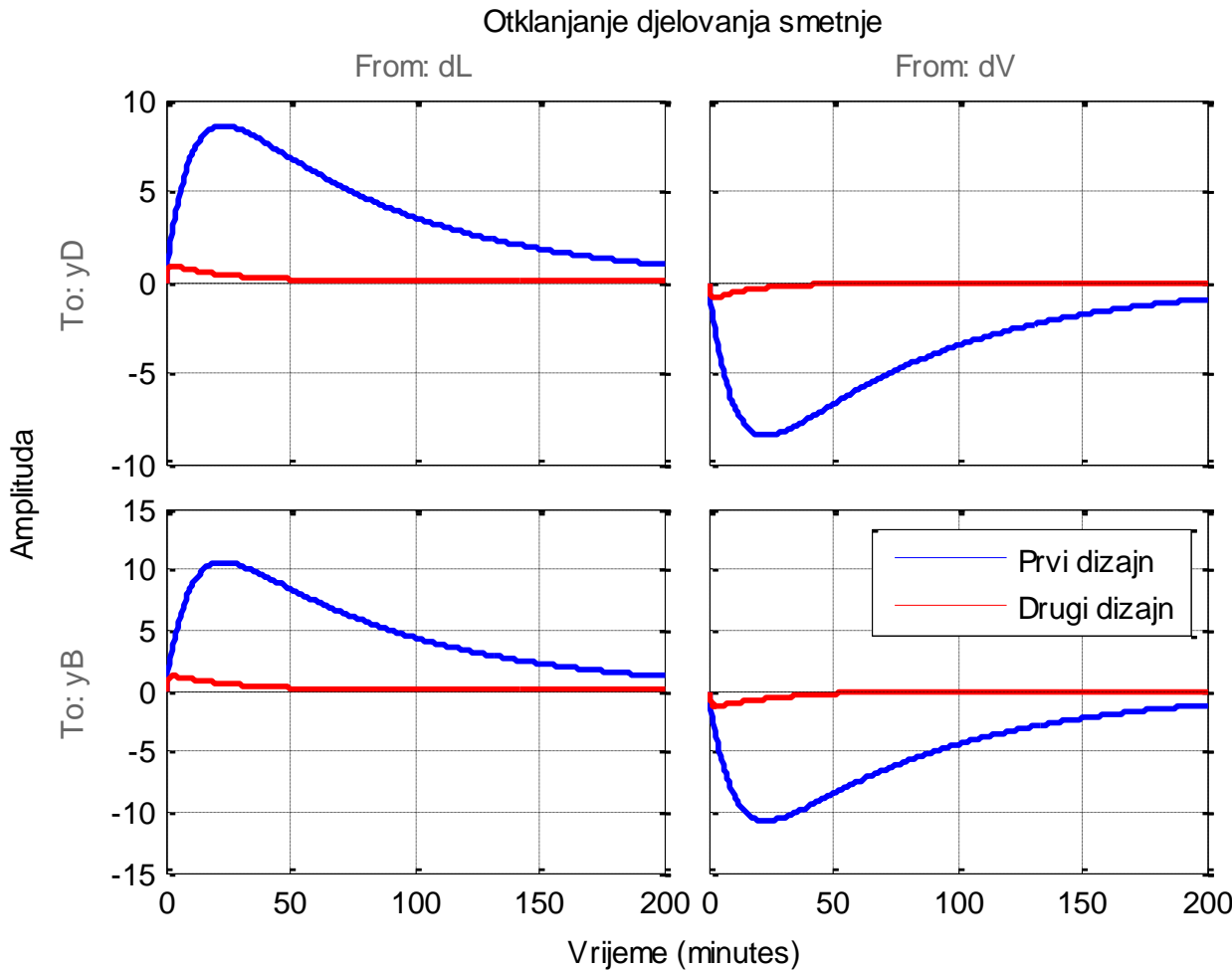
$$K_p = 1, K_i = 0.0367$$

Matrica DM:

$$DM = \begin{bmatrix} 4.571 & -2.462 \\ 4.179 & -2.927 \end{bmatrix}$$

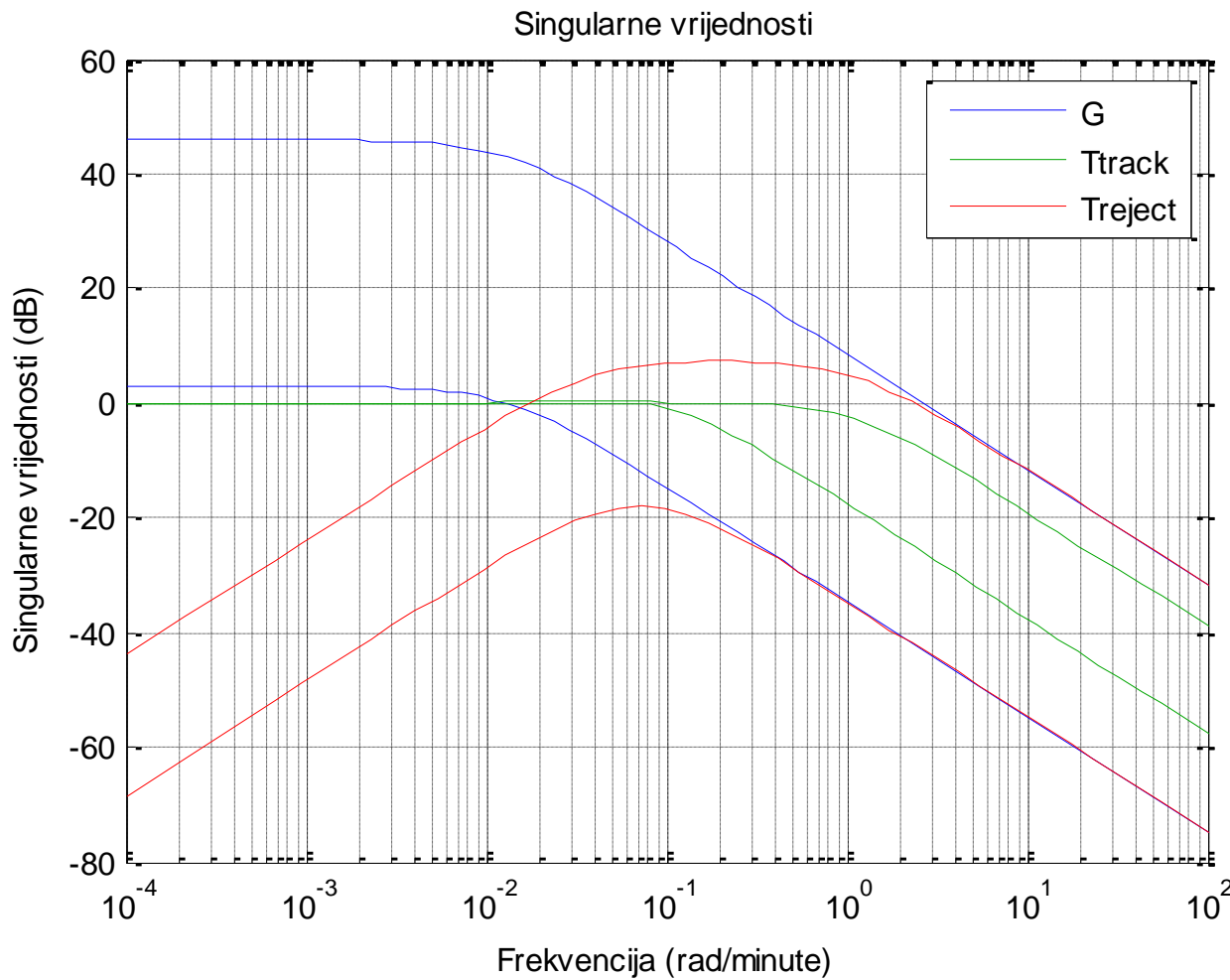
Primjer sinteze H_{∞} upravljanja

- Usporedba rezultata prvog i drugog regulatora (upravljačke strukture sa slajdova 40. i 44.) – otklanjanje djelovanja smetnje.



Primjer sinteze H_{∞} upravljanja

- Poboljšanje gušenja smetnje je evidentno iz usporedbe glavnih pojačanja od G i T_{reject} .



Sinteza H_∞ regulatora oblikovanjem petlje

- Neophodna procedura dizajna koja će biti mnogo fleksibilnija od procedure zasnovane na mješovitoj osjetljivosti, a u isto vrijeme ne toliko komplikirana kao što je μ -sinteza.
- U nastavku se opisuje procedura **sinteze regulatora oblikovanjem petlje u kombinaciji sa H_∞ robusnom stabilizacijom** [McFarlane & Glover, 1990].
- **Korak 1.** Dodavanje pretkomenzatora i postkompenzatora procesu kako bi se dobio željeni oblik singularnih vrijednosti frekvencijske karakteristike otvorene petlje.
- **Korak 2.** Rezultantni oblikovani proces se robusno stabilizira s obzirom na koprim faktor neizvjesnosti korištenjem H_∞ optimizacije.

Sinteza H_∞ regulatora oblikovanjem petlje

Robusna stabilizacija

- Kod MIMO sistema, klasična amplitudno i fazno osiguranje (rezerva) nisu pouzadni indikatori za robusnu stabilnost, pogotovo ako se promatraju odvojeno za svaki kanal, zbog istovremenog djelovanja perturbacija u više od jedne petlje (matrica perturbacija).
- U slučaju pojedinačnih perturbacija testovi robusnosti su izraženi preko maksimuma singularnih vrijednosti funkcija prijenosa različitih zatvorenih petlji.
- **Korištenje pojedinačne stabilne perturbacije dovodi do restrikcije procesa i perturbirani modeli procesa imaju jednak broj nestabilnih polova ili jednak broj nestabilnih nula (RHP).**

Sinteza H_∞ regulatora oblikovanjem petlje

- Da bi se prevazišli ovi problemi, koriste se dvije stabilne perturbacije sa koprim faktorizacijom procesa (koristan način prikaza modela procesa).
- Razmatramo stabilizaciju procesa $G(s)$ koji je normiran koprim faktorizacijom (slijeva):

$$G(s) = M^{-1}(s)N(s)$$

M i N su stabilne koprim funkcije prijenosa, gdje M iskazuje dinamiku polova, a dinamiku nula N .

- **Stabilnost** implicira da $N(s)$ sadrži sve RHP nule od $G(s)$, a $M(s)$ sve RHP polove od $G(s)$.

Sinteza H_∞ regulatora oblikovanjem petlje

- **Koprimnost** znači da nema zajedničkih RHP nula (uključujući tačku u beskonačnosti) u $\mathbf{M}(s)$ i $\mathbf{N}(s)$ kojima bi se poništili polovi/nule kada se formira produkt $\mathbf{M}(s)\mathbf{N}(s)$.
- Matematički koprimnost znači da postoje stabilne $\mathbf{U}(s)$ i $\mathbf{V}(s)$ takve da vrijedi Bezout identitet:

$$\mathbf{M}(s)\mathbf{V}(s) + \mathbf{N}(s)\mathbf{U}(s) = \mathbf{I}$$

- Ako se uzme $\mathbf{V}(s) = \mathbf{M}^T(-s)$; $\mathbf{U}(s) = \mathbf{N}^T(-s)$

$$\mathbf{M}(s)\mathbf{M}^T(-s) + \mathbf{N}(s)\mathbf{N}^T(-s) = \mathbf{I}$$

- Perturbirani model procesa \mathbf{G}_p , može se opisati sa:

$$\mathbf{G}_p(s) = (\mathbf{M}(s) + \Delta_M(s))^{-1}(\mathbf{N}(s) + \Delta_N(s))$$

Sinteza H_∞ regulatora oblikovanjem petlje

- U prethodnom izrazu Δ_M i Δ_N su stabilne nepoznate funkcije prijenosa koje predstavljaju neizvjesnost u nominalnom modelu procesa G .
- Na ovaj način je omogućeno da perturbacije polova i nula sijeku imaginarnu os korištenjem Δ_M i Δ_N .
- **Cilj robusne stabilizacije nije samo stabilizirati nominalni model G , već i familiju perturbiranih procesa definiranih sa:**

$$G_p(s) = \left\{ (\mathbf{M}(s) + \Delta_M(s))^{-1} (\mathbf{N}(s) + \Delta_N(s)) : \left\| \begin{bmatrix} \Delta_N & \Delta_M \end{bmatrix} \right\|_\infty < \varepsilon \right\}$$

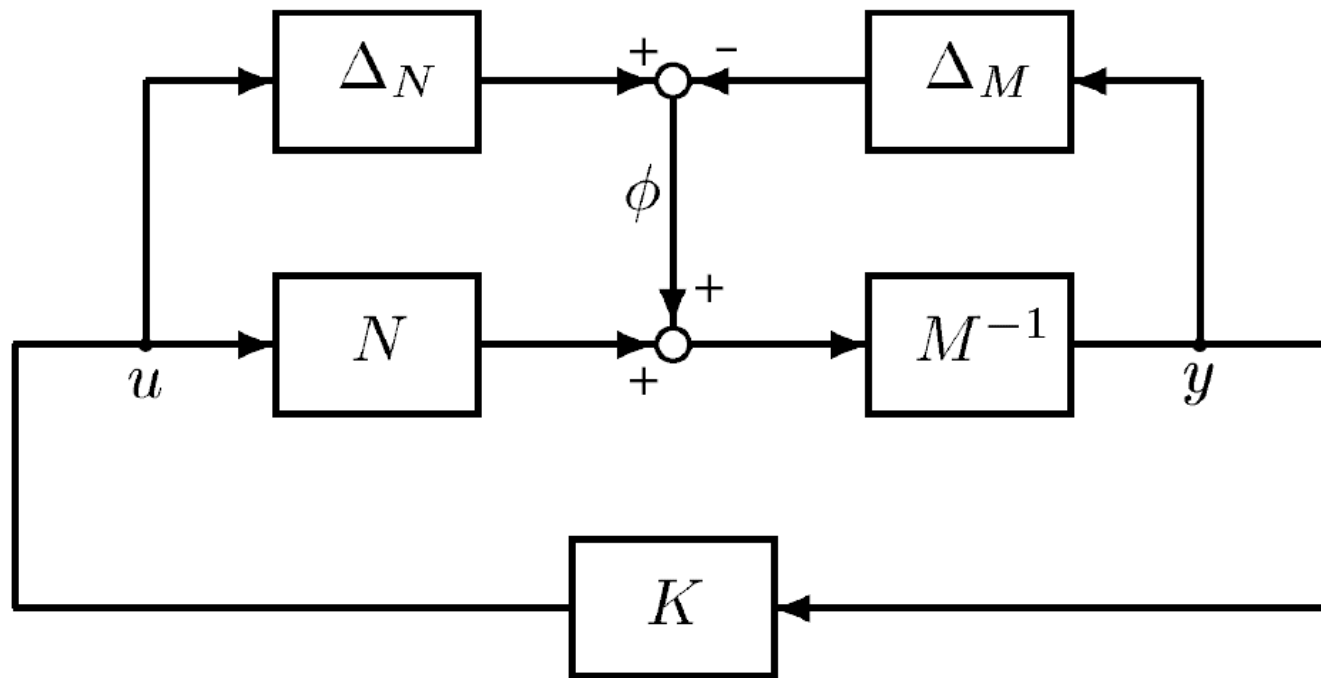
- Prema tome potrebno je odrediti regulator K koji robusno stabilizira G_p sa:

$$\left\| \begin{bmatrix} \Delta_N & \Delta_M \end{bmatrix} \right\|_\infty < \varepsilon$$

ε je stabilna rezerva

Sinteza H_∞ regulatora oblikovanjem petlje

- Maksimizacija ε predstavlja problem robusne stabilizacije normiranih procesa koprime faktorizacijom, kako je objašnjeno u [Glover & McFarlane, 1989]
- Perturbirani zatvoreni sistem sa H_∞ robusnom stabilizacijom prikazan je na slici.



Sinteza H_∞ regulatora oblikovanjem petlje

- G_p može se prikazati u P - Δ formi sa $[\Delta_N \quad \Delta_M]$ i generalizirani proces P :

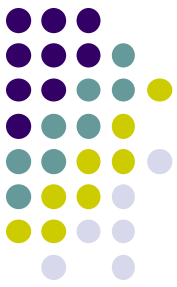
$$P = \begin{bmatrix} K \\ I \end{bmatrix} (I - GK)^{-1} M^{-1}$$

- Robusna stabilnost je zadovoljena ako:

$$\gamma = \|P\|_\infty \leq \frac{1}{\varepsilon}$$

- Maksimalna rezerva stabilnosti je:

$$\varepsilon_{\max} = \frac{1}{\gamma_{\min}} = \left(1 - \| [N \quad M] \|_H^2 \right)^{\frac{1}{2}} \quad \|\cdot\|_H \text{ - Hankelova norma}$$



Sinteza H_∞ regulatora oblikovanjem petlje

- Korespondentni H_∞ optimalni regulator (centralni regulator) tada garantira:

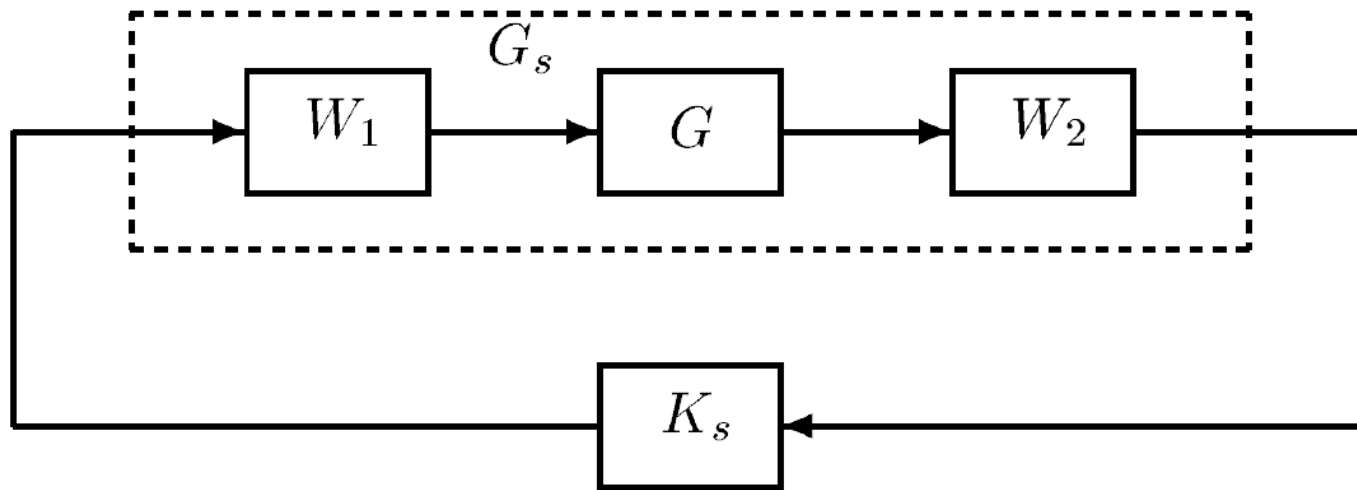
$$\left\| \begin{bmatrix} K \\ I \end{bmatrix} (I - GK)^{-1} M^{-1} \right\|_\infty \leq \gamma_{\min}$$

što se može direktno izračunati rješavanjem dviju algebarskih Riccatijevih jednadžbi.

Sinteza H_∞ regulatora oblikovanjem petlje

Glover-McFarlane oblikovanje petlje

- Korištenjem pretkompenzatora i postkompenzatora dobiva se struktura na slici.



- Oblikovani proces je opisan funkcijom prijenosa G_s :

$$G_s(s) = W_2(s)G(s)W_1(s)$$

Sinteza H_∞ regulatora oblikovanjem petlje

- Sinteza regulatora K_s obavit će se rješavanjem problema robusne stabilizacije za “oblikovanje” procesa sa normiranom koprivim faktorizacijom:

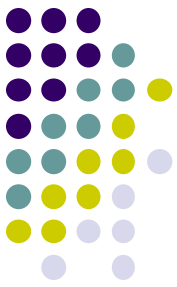
$$G_s(s) = M_s^{-1} N_s$$

- Regulator zatvorenog kruga za proces G je tada:

$$K(s) = W_1(s) K_s(s) W_2(s)$$

- Problem robusne stabilizacije odvija se u dva koraka
- **Korak 1.** Definirati ciljne performanse (kriterij kakvoće), naprimjer:

$$\|w_P S\|_\infty < 1 \quad \text{i} \quad \|w_T T\|_\infty < 1$$



Sinteza H_∞ regulatora oblikovanjem petlje

- Nakon toga se izabiru W_1 i W_2 da se postigne:

$$\omega < \omega_B : \underline{\sigma}(G_s) > |w_P|$$

$$\omega > \omega_B : \bar{\sigma}(G_s) < 1/|w_T|$$

- **Korak 2.** Obaviti robusnu stabilizaciju “oblikovanog” procesa $G_s(s)$ sa K_s .
- Ako je $\varepsilon_{\max} \geq 0.25$ tada performansa i robusna stabilnost obično nisu u konfliktu.
- U ostalim slučajevima, ako stabilizacija jako utječe na performansu, vratiti se na korak 1. i modificirati pojačanje petlje.

Sinteza H_∞ regulatora oblikovanjem petlje

- **Primjer 1.** Sinteza Glover-McFarlane H_∞ regulatora sa oblikovanjem petlje za procese zahvaćene smetnjom.
- Razmatra se proces i model smetnje:

$$G(s) = \frac{200}{10s+1} \frac{1}{(0.05s+1)^2}; \quad G_d(s) = \frac{100}{10s+1}$$

- Zahtjevi na sintezu regulatora su: postizanje, po mogućnosti, dobrog otklanjanja utjecaja smetnje i frekvencija presjeka na karakteristici pojačanja treba biti oko 10 rad/s.
- **Rješenje:**
- Odabere se pojačanje petlje da bude $|G_s| = |G_d|$

Sinteza H_∞ regulatora oblikovanjem petlje

- Željeno ponašanje je definirano sa:

$$W_1 = |G^{-1}G_d|$$

- Nakon zanemarenje visokofrekvenčne dinamike u $G(s)$ dobiva se inicijalna vrijednost težine $W_1 \approx 0.5$.
- Da bi se poboljšale performanse na niskim frekvencijama dodaje se integralno djelovanje, kao i element faznog prethođenja $s+2$ kojim se smanjuje nagib L -a od -2 na niskim frekvencijama do oko -1 na frekvenciji presjeka.
- Da bi se odziv učinio malo bržim, pojačanje se množi faktorom 2 da bi se dobila težina:

$$W_1 = \frac{s+2}{s}$$

Sinteza H_∞ regulatora oblikovanjem petlje

- Ovo djelovanje proizvodi oscilatoran odziv.
- Na ovaj način se dobije oblikovani proces $G_s = GW_1$ sa frekvencijom presjeka 13.7 rad/s.
- Amplituda od $G_s(j\omega)$ prikazan je na slajdu 67. isprekidanom linijom.
- Odziv sistem na jediničnu skokovitu smetnju sa regulatorom $K = W_1$ prikazan je također isprekidanom linijom na drugoj slici, za koga se očekivalo da će biti oscilatoran.
- Navedeni rezultati su dobiveni sa dizajnom inicijalnog oblikovanja petlje.
- Da bi se poboljšali rezultati, pomenuti regulator se nastoji učiniti robusnijim na način da tolerira H_∞ koprime faktor neizvjesnosti što je moguće više.

Sinteza H_∞ regulatora oblikovanjem petlje

- Za ovo se koristi Matlabova funkcija *coprimeunc*, koja pronađi optimalan regulator koji robusno poboljšava oblikovani proces u smislu toleriranja neizvjesnosti maksimuma koprime faktora korištenog u proceduri H_∞ oblikovanja petlje po McFarlane – Gloveru.
- Maksimalno osiguranje stabilnosti dobiveno sa poboljšanim regulatorom $K = W_1 K_s$ (izračunato korištenjem Matlabove funkcije *ncfsyn*) iznosi $\gamma_{\min} = 2.34$, odnosno $\varepsilon_{\max} = 0.43$.
- Nakon toga uzeti $\gamma = 1.1 \gamma_{\min}$ i odrediti korespondentni robusni regulator K_s .

Sinteza H_∞ regulatora oblikovanjem petlje

- U ovom primjeru dobivene su sljedeće funkcije prijenosa procesa i regulatora (regulator K_s i proces G_s imaju po 4 stanja, regulator $K = W_1 K_s$ pet stanja, W_1 jedno stanje):

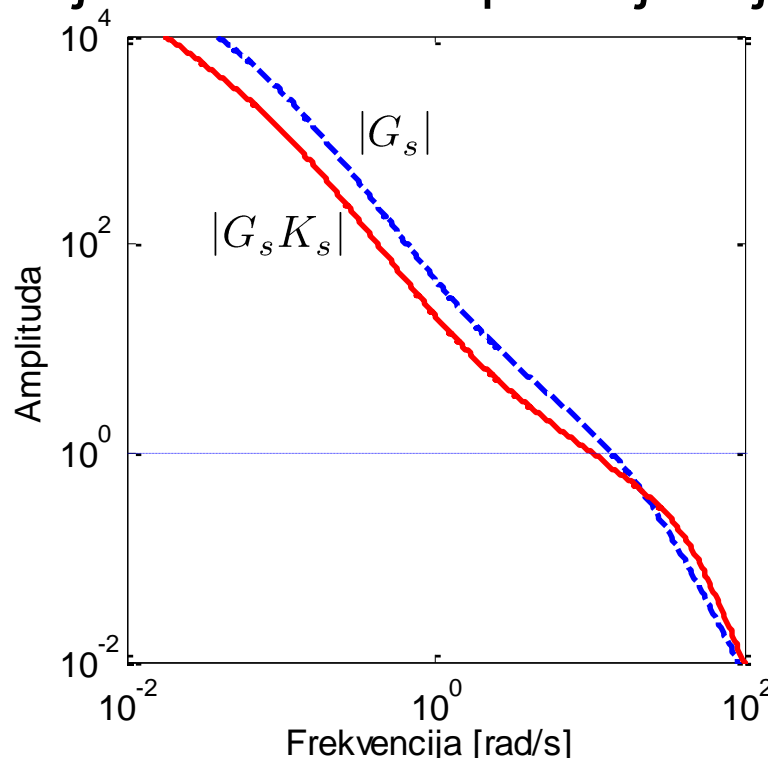
$$G_s(s) = \frac{200s + 400}{0.025s^4 + 1.002s^3 + 10.1s^2 + s}$$

$$K_s(s) = \frac{143.6s^3 + 6201s^2 + 73450s + 103900}{s^4 + 126.8s^3 + 5810s^2 + 132900s + 243300}$$

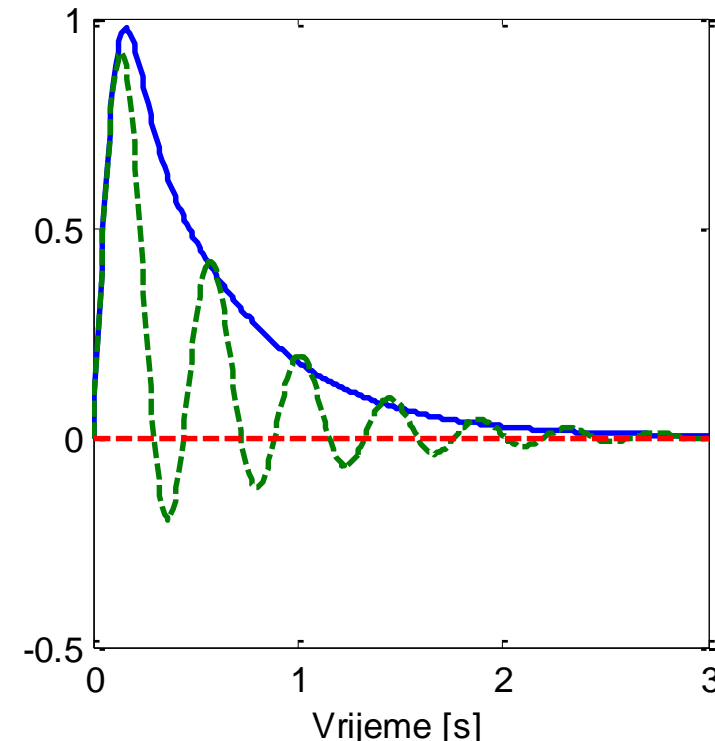
$$K(s) = \frac{143.6s^4 + 6488s^3 + 85850s^2 + 250800s + 207800}{s^5 + 126.8s^4 + 5810s^3 + 132900s^2 + 243300s}$$

Sinteza H_∞ regulatora oblikovanjem petlje

- Rezultati provedene procedure prikazani su na slikama.
- Isprekidanim linijama prikazani su rezultati za inicijalni dizajn oblikovanja procesa (G_s), a punim linijama robusno poboljšanje oblikovanja ($G_s K_s$).



Oblikovanje petlji $|L(j\omega)|$



Odziv na smetnju (jedinični skok)